



ปีการศึกษา 2530 ภาคการเรียนที่ 2
ตัวควบคุมแบบจูนปรับตัวเอง
(Self-tuning controller)

โดย

อ. ธีรวัฒน์ อภิรัตน์วงศ์

พรเทพ ปรากฏ์ปริกม

อาจารย์ที่ปรึกษา

อ. วันชัย รุ่งรุจา



ปริญญาโท ศึกษาศาสตร์ 2530 ภาคเรียนที่ 2

ภาควิชา วิศวกรรมระบบควบคุม

คณะวิศวกรรมศาสตร์ สถาบันเทคโนโลยีพระจอมเกล้าเจ้าคุณทหารลาดกระบัง

เรื่อง ตัวควบคุมแบบจูนปรับตัวเอง

(Self-tuning controller)

ผู้จัดทำ

1. นายชญวัฒน์ อภิรัตน์วงศ์
2. นายพรเทพ ปรากฏ์ปรักมะ

..... อ.วันชัย ธีรสุภา อาจารย์ที่ปรึกษา
 (อ.วันชัย ธีรสุภา)

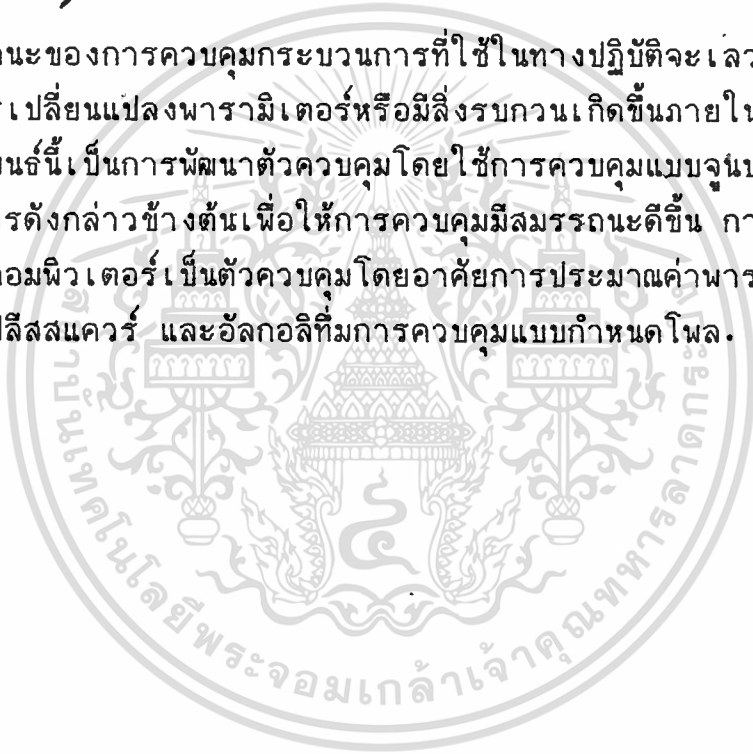


ตัวควบคุมแบบจูนปรับตัวเอง

อัญญาวัฒน์ อภิรัตน์วงศ์
พรเทพ ปรากฏ์ประกมะ
อ.วันชัย รุ่งรุจา อาจารย์ที่ปรึกษา
ปีการศึกษา 2530

บทคัดย่อ

สมรรถนะของการควบคุมกระบวนการที่ใช้ในทางปฏิบัติจะเลวลงเมื่อกระบวนการมีการเปลี่ยนแปลงพารามิเตอร์หรือมีสิ่งรบกวนเกิดขึ้นภายในกระบวนการ ปัญหานี้เป็นการพัฒนาตัวควบคุมโดยใช้การควบคุมแบบจูนปรับตัวเองกับกระบวนการดังกล่าวข้างต้น เพื่อให้การควบคุมมีสมรรถนะดีขึ้น การควบคุมระบบที่ใช้ไมโครคอมพิวเตอร์เป็นตัวควบคุมโดยอาศัยการประมาณค่าพารามิเตอร์แบบรีเคอร์ซีฟลิสสแควร์ และอัลกอริทึมการควบคุมแบบกำหนดโพล.



SELF TUNING CONTROL

Ponthep Prankprakma

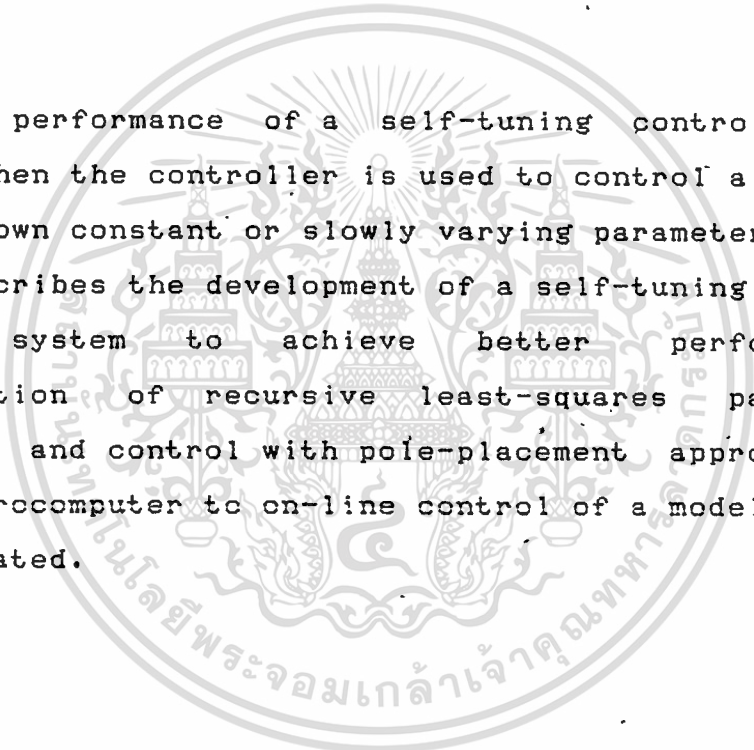
Thanyawat Abhiratanawongsa

Wanchai Ruiruja Advisor

1987

Abstract

The performance of a self-tuning controller is studied, when the controller is used to control a system with unknown constant or slowly varying parameters. The thesis describes the development of a self-tuning control of the system to achieve better performance. Implementation of recursive least-squares parameter estimation and control with pole-placement approach on 16-bit microcomputer to on-line control of a model plant is illustrated.



สารบัญ

หน้า

บทที่ 1 บทนำ	1
1.1 ปัญหาของระบบควบคุม	1
1.2 จุดประสงค์ของปริญญาานิพนธ์	2
1.3 ขอบเขตของปริญญาานิพนธ์	3
1.4 วิธีดำเนินงานของปริญญาานิพนธ์	3
บทที่ 2 ทฤษฎีและหลักการ	4
2.1 ลักษณะของการควบคุมแบบจูนปรับตัวเอง	4
2.2 รูปแบบและปัญหาของการควบคุมแบบจูนปรับตัวเอง	5
2.3 การประมาณแบบ RLS	7
2.4 ตัวควบคุมแบบจูนปรับตัวเองชนิดกำหนดโพล	10
การกำจัดโพลและซีโร	11
ทฤษฎี	12
อัลกอริทึมของการควบคุมแบบกำหนดโพล	12
บทที่ 3 การออกแบบ	14
การออกแบบการคำนวณของตัวควบคุม	14
การออกแบบวงจรเลียนแบบระบบ	15
บทที่ 4 ผลการทดลอง	16
บทที่ 5 บทสรุปและวิจารณ์	24
สรุปการทำปริญญาานิพนธ์	24
แนวการปรับปรุงของตัวควบคุม	25
ตัวควบคุมในอุตสาหกรรม	25
ภาคผนวก โปรแกรมลิสต์	28

สารบัญรูปภาพ

	หน้า
รูปที่ 2.1 โครงสร้างของการควบคุมแบบจูนปรับตัวเอง	5
รูปที่ 2.4.1 บล็อกไดอะแกรมของกฎการควบคุม u	10
รูปที่ 3.1 แสดงวงจรเลียนแบบระบบ	15
รูปที่ 4.1-4.14 ผลการทดลอง	16-22



บทที่ 1

บทนำ

ในบทนี้จะกล่าวถึงปัญหาของระบบควบคุมกับการควบคุมแบบจูนปรับตัวเอง จุดประสงค์และขอบเขตของปริญญาานิพนธ์ ตลอดจนวิธีดำเนินงานของปริญญาานิพนธ์

1.1 ปัญหาของระบบควบคุม

ในวงการอุตสาหกรรมได้ให้ความสนใจกับตัวควบคุมที่สามารถปรับค่าได้เองอย่างอัตโนมัติมาเป็นเวลานานแล้ว เนื่องจากการปรับค่าของพารามิเตอร์ของตัวควบคุมโดยใช้ความสามารถของคนทำได้ช้าและไม่แน่นอน ซึ่งจะทำให้ประสิทธิภาพของการควบคุมลดลง โดยปกติในระบบที่มีพลวัต (Dynamic) ซับซ้อน ตัวอย่างเช่น ระบบที่พารามิเตอร์ (Parameter) เปลี่ยนแปลงตามเวลา หรือมีค่าที่ไม่ทราบ (Unknown) หรือระบบมีสิ่งรบกวน (Disturbance) เกิดขึ้น เป็นต้น การออกแบบตัวควบคุมเพื่อใช้ในการควบคุมระบบดังกล่าวให้ เป็นไปตามข้อกำหนด (Specification) ทำได้ไม่สะดวกนักเพราะค่าพารามิเตอร์ของระบบจะเปลี่ยนแปลงตลอดเวลาทำให้ไม่สามารถทราบค่าที่แน่นอนได้ การออกแบบระบบควบคุมโดยใช้การควบคุมแบบจูนปรับตัวเอง (Self-tuning control) เป็นวิธีหนึ่งที่ใช้ได้ดีกับระบบที่ไม่แน่นอน (Uncertainty) เหล่านี้ สามารถปรับค่าของพารามิเตอร์ของตัวควบคุมได้อย่างอัตโนมัติ และยังสามารถที่จะเพิ่มสมรรถนะ (Performance) ของการควบคุมระบบอีกด้วย ตัวควบคุมแบบจูนปรับตัวเอง (Self-tuning controller) เป็นตัวควบคุมแบบปรับตัวเอง (Adaptive controller) ที่ง่ายที่สุด อาศัยการบอกเอกลักษณ์ของพารามิเตอร์ (Parameter identification) กับกฎการควบคุมแบบป้อนกลับ (Feedback control law) ทำให้อัลกอริทึมของการจูนปรับตัวเอง (Self-tuning algorithm) ง่ายและสะดวกต่อการใช้งาน ถึงแม้การควบคุมแบบจูนปรับตัวเองจะไม่ได้ค่าเล็งเลิศ (Optimal) แต่สามารถใช้ควบคุมกระบวนการที่มีการเปลี่ยนแปลงเกิดขึ้นได้อย่างมีประสิทธิภาพและให้สมรรถนะที่เหนือกว่าการควบคุมแบบดั้งเดิม (Conventional control)

การนำตัวควบคุมแบบจูนปรับตัวเองมาประยุกต์ใช้งานนั้น ในบางกรณีอาจจะไม่สามารถใช้ควบคุมระบบได้ เนื่องจากยังไม่มีทฤษฎีรับรองว่าอัลกอริทึมของการจูนปรับตัวเองจะลู่เข้าเสมอ (Converge) มีทฤษฎีที่รับรองเพียงว่าเมื่ออัลกอริทึมทั้งหมดของการควบคุมแบบจูนปรับตัวเองสามารถลู่เข้าแล้วผลตอบของตัวควบคุม (Control action) ก็จะลู่เข้าด้วยความไม่สมบูรณ์ของการควบคุม

แบบจูนปรับตัวเองนั้นมีอีกหลายประการ เช่น อัตราการลู่เข้า (Convergence rate) ที่ไม่แน่นอนทำให้ไม่ทราบว่าจะลู่เข้าเมื่อไร หรือแม้ว่าการควบคุมจะอยู่ภายใต้เงื่อนไขที่เหมาะสมแล้ว แต่การควบคุมก็อาจจะลู่ออก (Diverge) ก็ได้ การควบคุมแบบจูนปรับตัวเองส่วนใหญ่ใช้ได้กับระบบเชิงเส้น (Linear system) เนื่องจากใช้การประมาณพารามิเตอร์แบบเชิงเส้น แต่ก็สามารถใช้กับระบบที่ไม่เป็นเชิงเส้นได้ถ้ามีความไม่เป็นเชิงเส้น (Non-linearity) ที่ไม่ยุ่งยากนักได้

แนวเหตุผลที่การควบคุมแบบจูนปรับตัวเองได้รับความนิยมเนื่องจากใช้ได้กับระบบสโตแคสติกแบบเวลาไม่ต่อเนื่อง (Discrete time stochastic system) ซึ่งสามารถนำไปประยุกต์ใช้กับไมโครคอมพิวเตอร์ได้สะดวก นอกจากนี้แล้วการควบคุมแบบจูนปรับตัวเองยังช่วยลดความยุ่งยากในการออกแบบระบบควบคุมที่ซับซ้อนต่างๆ ซึ่งทำไม่ได้ด้วยการออกแบบระบบควบคุมโดยทั่วไป และช่วยเพิ่มประสิทธิภาพในการปรับค่าพารามิเตอร์ได้ดีกว่าการปรับโดยวิธีที่ใช้กันในทางปฏิบัติทั่วไป

1.2 จุดประสงค์ของปริศยานินนธ์

สำหรับในปริศยานินนธ์นี้จะศึกษาปัญหาของการควบคุมและพัฒนากลยุทธ์การควบคุมแบบจูนปรับตัวเองในระบบที่มีการเปลี่ยนแปลงพารามิเตอร์อย่างช้าๆ ตามเวลา หรือมีสิ่งรบกวนเกิดขึ้น ขณะที่ระบบอยู่ในสภาวะคงตัว (Steady state) เพราะเมื่อระบบเป็นเช่นนั้นแล้วย่อมทำให้สมรรถนะของระบบเลวลง ซึ่งการปรับปรุงแก้ไขสมรรถนะให้ดีขึ้นจะต้องปรับค่าพารามิเตอร์ของตัวควบคุมใหม่ให้เหมาะสมกับการเปลี่ยนแปลง การนำตัวควบคุมแบบจูนปรับตัวเองมาประยุกต์ใช้กับระบบที่มีปัญหาข้างต้น จะสามารถแก้ไขและปรับปรุงสมรรถนะของการควบคุมได้อย่างมีประสิทธิภาพ โดยคุณสมบัติของการควบคุมแบบจูนปรับตัวเองเมื่อระบบเกิดการเปลี่ยนแปลงขึ้น ตัวควบคุมแบบจูนปรับตัวเองจะปรับค่าพารามิเตอร์ของตัวควบคุมอย่างอัตโนมัติเพื่อรักษาผลตอบของระบบให้มีความตามที่ตั้งไว้ (Set point) และรักษาสสมรรถนะของระบบตามกฎหมายเกณฑ์ของการควบคุม (Criteria)

สำหรับปริศยานินนธ์นี้จะใช้ตัวควบคุมแบบจูนปรับตัวเองแบบกำหนดโพล (Self-tuning controller using pole placement) ซึ่งอาศัยวิธีการกำหนดโพลทำให้สามารถกำหนดลักษณะของผลตอบของการควบคุมได้ตามต้องการ ถึงแม้ผลที่ได้จะไม่ดีเท่าที่พึงประสงค์ แต่การควบคุมด้วยวิธีนี้สามารถใช้กับระบบที่ไม่มีเฟสน้อยสุด (Non-minimum phase system) หรือระบบที่มีเวลา

หน่วง (Delay time) เปลี่ยนแปลงตามเวลาซึ่งการควบคุมแบบเล็งเล็คไม่สามารควบคุมได้ วิธีนี้จึงครอบคลุมปัญหาในการควบคุมได้มากเป็นวิธีที่น่าสนใจ

1.3 ขอบเขตของปริญญาณิพนธ์

1. พัฒนาตัวควบคุมแบบจูนปรับตัวเองที่ใช้การกำหนดโพล เพื่อควบคุมระบบที่มีการเปลี่ยนแปลงพารามิเตอร์ช้า ๆ ตามเวลา หรือมีสิ่งรบกวนเกิดขึ้นขณะระบบอยู่ในภาวะคงตัว

2. ทดสอบตัวควบคุมที่ออกแบบกับระบบจริง

1.4 วิธีดำเนินงานของปริญญาณิพนธ์

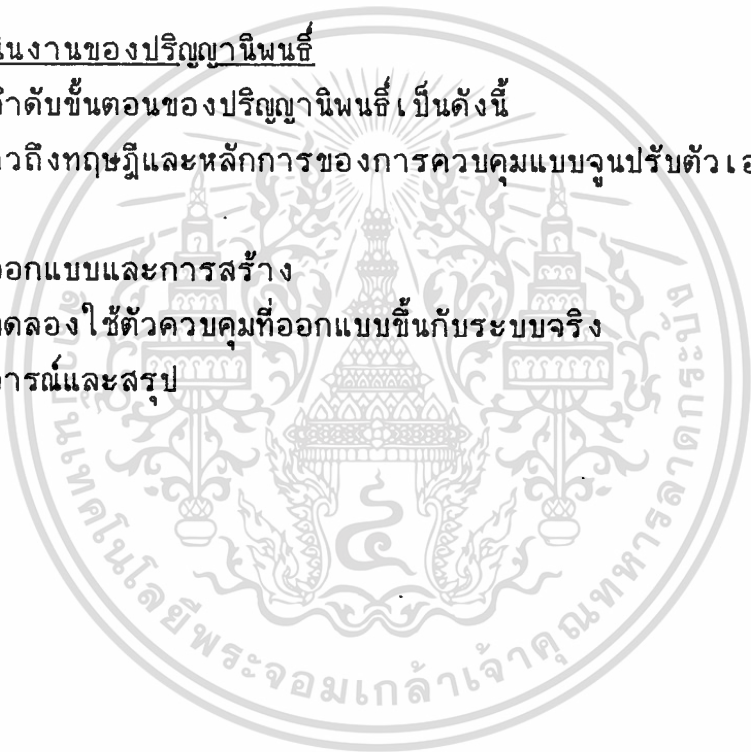
สำหรับลำดับขั้นตอนของปริญญาณิพนธ์ เป็นดังนี้

บทที่ 2 กล่าวถึงทฤษฎีและหลักการของการควบคุมแบบจูนปรับตัวเองที่ใช้การกำหนดโพล

บทที่ 3 การออกแบบและการสร้าง

บทที่ 4 การทดลองใช้ตัวควบคุมที่ออกแบบขึ้นกับระบบจริง

บทที่ 5 บทวิจารณ์และสรุป



บทที่ 2

ทฤษฎีและหลักการ

การควบคุมแบบจูนปรับตัวเองเป็นการควบคุมแบบจูนอัตโนมัติ สามารถประยุกต์ใช้ได้กับการควบคุมชนิดต่าง ๆ ได้โดยง่าย และใช้ได้กับระบบหลายอินพุตหลายเอาต์พุต (Multi-input multi-output) ในบทนี้จะกล่าวถึงลักษณะของการควบคุมแบบจูนปรับตัวเองที่ใช้การกำหนดโพลซึ่งใช้กับระบบหนึ่งอินพุตหนึ่งเอาต์พุต (Single-input single-output)

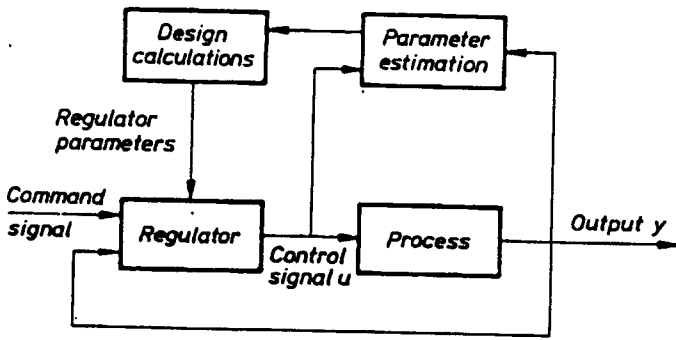
2.1 ลักษณะของการควบคุมแบบจูนปรับตัวเอง

ในการควบคุมระบบที่มีความไม่แน่นอน เนื่องจากมีการเปลี่ยนแปลงค่าพารามิเตอร์อย่างช้า ๆ ตามเวลาหรือมีสิ่งรบกวนเกิดขึ้น ให้มีสมรรถนะและข้อกำหนดเป็นไปตามที่ต้องการนั้น วิธีการควบคุมแบบจูนปรับตัวเองเป็นวิธีหนึ่งที่ใช้ได้ดีสำหรับระบบดังกล่าวและสามารถใช้กับระบบที่มีลักษณะดังนี้

1. ระบบที่มีพลวัต (Dynamic) ยุ่งยาก เช่นระบบที่มีเฟสตามหลังมาก ๆ
2. ระบบที่มีภาวะไม่เชิงเส้น
3. ระบบที่มีพารามิเตอร์เปลี่ยนแปลงตามเวลา
4. มีการกระทำต่อกัน (Interaction) ระหว่างลูปในระบบ
5. มีสิ่งรบกวนจากสภาวะแวดล้อม (Environmental disturbance) มาเกี่ยวข้อง

จุดประสงค์ของการควบคุมแบบจูนปรับตัวเองก็เพื่อต้องการควบคุมผลตอบของระบบที่มีลักษณะข้างต้นให้ เป็นไปตามข้อกำหนดที่วางไว้ โดยการปรับค่าพารามิเตอร์ของตัวควบคุมให้เหมาะสมกับการเปลี่ยนแปลงที่เกิดขึ้นอย่างอัตโนมัติตามกฎเกณฑ์ของการควบคุม ในการควบคุมจะต้องพิจารณาเสถียรภาพ สมรรถนะ และการลู่เข้าเป็นหลัก โดยทั่วไปแล้วการควบคุมแบบจูนปรับตัวเองจะมีโครงสร้างดังรูป 2.1

จากรูปจะเห็นได้ว่าการควบคุมแบบจูนปรับตัวเองประกอบด้วย 2 ลูป ลูปภายในประกอบด้วยตัวกระบวนการ (Process) และตัวควบคุมป้อนกลับเชิงเส้น (Linear-feedback regulator) ส่วนลูปนอกประกอบด้วยขั้นตอนการประมาณค่าพารามิเตอร์ และการคำนวณออกแบบ (Design calculations) ซึ่งจะทำการปรับค่าพารามิเตอร์ของตัวควบคุม



รูปที่ 2.1 โครงสร้างของการควบคุมแบบจูนปรับตัวเอง

การควบคุมแบบจูนปรับตัวเองสามารถแบ่งได้เป็นสองแบบคือ แบบเอ็กพลิสิต (Explicit) กับแบบอิมพลิสิต (Implicit) โดยที่แบบเอ็กพลิสิตจะประมาณค่าของพารามิเตอร์ของระบบแล้วแทนในขั้นตอนการคำนวณเพื่อหาค่าสัมประสิทธิ์ที่ใช้ในกฎการควบคุม ส่วนแบบอิมพลิสิต จะข้ามช่วงการคำนวณออกไปโดยจัดสมการเสียใหม่แล้วทำการประมาณค่าสัมประสิทธิ์ของตัวควบคุมโดยตรง ทำให้รวดเร็วขึ้นแต่ทว่าความแม่นยำ (Accuracy) และความมั่นคง (Robust) ของแบบเอ็กพลิสิต ดีกว่า

ในการควบคุมแบบจูนปรับตัวเองจำเป็นต้องอาศัยค่าจากการบอกเอกลักษณ์หรือการประมาณค่าพารามิเตอร์เป็นหลัก ดังนั้นการเลือกใช้อัลกอริทึมในการประมาณ (Estimation algorithm) จะต้องพิจารณารูปแบบของระบบ (System model) และขั้นตอนการออกแบบ (Design procedure) ถ้าใช้อัลกอริทึมที่ขาดความมั่นคง จะทำให้การควบคุมแบบจูนปรับตัวเองล้มเหลวได้ การประมาณค่าพารามิเตอร์ที่ใช้ในอัลกอริทึมของการควบคุมแบบจูนปรับตัวเองเป็นแบบเชิงเส้น (Linear estimation) ดังนั้นการควบคุมแบบจูนปรับตัวเองไม่สามารถใช้กับกระบวนการที่มีความไม่เป็นเชิงเส้นยุ่งยากมาก ๆ ได้

2.2 รูปแบบและปัญหาของการควบคุมแบบจูนปรับตัวเอง

โดยทั่วไปรูปแบบของระบบสามารถแทนได้ในรูปของเวลาไม่ต่อเนื่อง (Discrete time) ได้ดังนี้

$$A(z^{-1})y(k) = z^{-d}B(z^{-1})u(k) + x(k) \dots (2.2.1)$$

โดยที่

$u(k), y(k)$ เป็น อินพุตและเอาต์พุตของระบบในช่วงเวลาการสุ่มที่ k

$A(z^{-1}), B(z^{-1})$ เป็นโพลีโนเมียลที่สอดคล้องกับอินพุตและเอาต์พุตของระบบ

$x(k)$ เป็นสิ่งรบกวนในระบบในช่วงเวลาการสุ่มที่ k

ไม่ว่ากรณีใดๆทั้งสิ้น อีกทั้งยังมีเหตุเปลี่ยนแปลงเนื้อหา และต่ออ้างอิงถึงเจ้าของเอกสารทุกครั้งที่มีการนำไปใช้

การแทนรูปแบบของระบบนี้ $x(k)$ เป็นสิ่งรบกวนที่เกิดขึ้นภายในระบบจึงสามารถพิจารณาได้หลายรูปแบบ ตัวอย่างเช่น

1. เป็นค่าคงตัว (Constant)
2. เป็นสิ่งรบกวนเนื่องจากโหลด (Load disturbance)
3. สิ่งรบกวนที่สามารถวัดได้ (Measurement disturbance)
4. สิ่งรบกวนที่มีค่าเฉลี่ยไม่เป็น 0 (Non zero mean disturbance)
5. สิ่งรบกวนที่มีค่าเฉลี่ยเป็น 0 (Zero mean disturbance)

การแทนรูปแบบของระบบให้ใกล้เคียงความเป็นจริงนั้น จะต้องเลือกเงื่อนไขของ $x(k)$ ให้เหมาะสมกับลักษณะของกระบวนการมากที่สุด ตัวอย่างเช่น

$$x(k) = c + (C(z^{-1}) / A(z^{-1}))e(k)$$

โดยที่

c - ค่าคงที่

$e(k)$ - สัญญาณรบกวนของตัวแปรอิสระที่มีค่าเฉลี่ยเป็น 0

แต่ปกติมักจะแทนรูปแบบของระบบด้วย

$$A(z^{-1})y(k) = z^{-d} B(z^{-1})u(k) + c(z^{-1})e(k) \dots (2.2.2)$$

ปัญหาการแทนรูปแบบของระบบมีความสำคัญมากเนื่องจากในอัลกอริทึมของการควบคุมแบบจูนปรับตัวเองต้องอาศัยพารามิเตอร์ของระบบในการควบคุม ในกรณีที่แทนรูปแบบของการบอกเอกลักษณ์ไม่เหมาะสมก็จะเป็นส่วนหนึ่งที่ทำให้การควบคุมแบบจูนปรับตัวเองล้มเหลว นอกจากปัญหาของการกำหนดรูปแบบซึ่งเป็นปัญหาเกี่ยวกับเสถียรภาพแล้ว ปัญหาที่สำคัญอีกประการหนึ่งได้แก่ปัญหาของสมรรถนะของการควบคุม ปัญหาที่เกิดขึ้นเสมอคือ ปัญหาออฟเซต (Offset) ซึ่งสาเหตุของการเกิดขึ้นกับลักษณะของการควบคุมและสิ่งรบกวนที่เกิดขึ้นในระบบ ตัวอย่างเช่น สิ่งรบกวนที่มีค่าเฉลี่ยไม่เป็น 0 ก็เป็นสาเหตุสำคัญที่ทำให้เกิดออฟเซต

ชนิดของการประมาณมีทั้งแบบไบอัส (Bias) และ ไม่ไบอัส (Unbias) ซึ่งใช้กับข้อมูลที่มีค่าเฉลี่ยไม่เป็น 0 และเป็น 0 ตามลำดับ สำหรับกรณีไม่ไบอัสเนื่องจากสิ่งรบกวนมีค่าเฉลี่ยเป็น 0 เราจะได้ว่า $C(z^{-1})$ ในสมการ (2.2.2) มีค่าเป็น 1 ดังนั้นเราจึงไม่จำเป็นต้องทำการประมาณค่าพารามิเตอร์ของสิ่งรบกวน

วิธีการประมาณที่นิยมใช้มีอยู่ 3 วิธี คือ

1. RLS (Recursive least square) ซึ่งเป็นการประมาณแบบไม่ไบอัส
2. RML (Recursive maximum likelihood) ซึ่งเป็นการประมาณแบบไบอัส

3. ELS (Extended least square) ซึ่งเป็นการประมาณแบบไม่ไบอัสที่ดัดแปลงจาก RLS

เนื่องจากในปริณญาณิพนธ์นี้เราเลือกใช้ตัวควบคุมแบบจูนปรับตัวเองที่ใช้การกำหนดโพล ซึ่งเป็นวิธีที่สามารถกำหนดข้อจำกัด (Constraint) ให้กับผลตอบของระบบได้ และมีความมั่นคงสูง ดังนั้นการเปลี่ยนแปลงพารามิเตอร์ของสิ่งรบกวนจึงมีผลต่อระบบน้อย เราจึงสามารถใช้วิธีการประมาณแบบ RLS ได้

2.3 การประมาณแบบ RLS

พิจารณาระบบจากสมการ 2.2.2 เมื่อประมาณสัญญาณรบกวนให้เป็นแบบไม่มีความสัมพันธ์กับระบบ (uncorrelated noise) $C(z^{-1}) = 1$ และไม่มีเวลาหน่วง $d = 0$ จะได้

$$A(z^{-1})y(k) = B(z^{-1})u(k) + e(k)$$

$$\text{เมื่อ } z^{-1} y(k) = y(k-1)$$

$$A(z^{-1}) = 1 + a_1 z^{-1} + \dots + a_n z^{-n}$$

$$B(z^{-1}) = b_1 z^{-1} + \dots + b_n z^{-n}$$

จะได้ว่า

$$y(k) = -a_1 y(k-1) - a_2 y(k-2) \dots - a_n y(k-n) + b_1 u(k-1) + b_2 u(k-2) \dots + b_n u(k-n) + e(k)$$

นั่นคือ

$$y(k) = O^T X + e$$

$$: X(k) = [-y(k-1) \dots -y(k-n) \quad u(k-1) \dots u(k-n)]^T$$

$$O^T = [a_1 \dots a_n \quad b_1 \dots b_n]$$

เราต้องการประมาณค่าเวกเตอร์ O ซึ่งมีขนาดเท่ากับ m ดังนั้นเราจะต้องมีจำนวนเซตของการวัด r (number of sets of measurement) หรือจำนวนคู่ของข้อมูล u, y ก่อนที่จะทำการประมาณค่าอย่างน้อย m เซตหรือคู่ $r \geq m$ ดังนั้นการประมาณค่าจะให้ผลหลังจากการสุ่มข้อมูลไปแล้วอย่างน้อย $m+1$ ครั้ง โดยที่ \hat{O} จะต้องทำให้ดัชนีราคา (cost index) $J(r)$ น้อยที่สุด

$$J(r) = \sum_{k=1}^r \alpha(k) [y(k) - \hat{O}^T(r)X(k)]^2$$

$$\text{นั่นคือ } \hat{O}(r) \text{ ต้องสอดคล้องกับ : } \frac{\partial J(r)}{\partial \hat{O}(r)} = 0$$

เมื่อ \hat{O} เป็นเวกเตอร์ที่ได้จากการประมาณค่าเวกเตอร์ O

จะได้ว่า

ไม่ว่ากรณีใดๆทั้งสิ้น อีกทั้งห้ามมิให้ดัดแปลงเนื้อหา และต้องอ้างอิงถึงเจ้าของเอกสารทุกครั้งที่มีการนำไปใช้

$$\left[\sum_{k=1}^r q(k) X(k) X^T(k) \right] \hat{O}(r) = \sum_{k=1}^r q(k) y(k) X(k) \dots (2.3.1)$$

กำหนด

$$P^{-1}(r) = \sum_{k=1}^r q(k) [X(k) X^T(k)] \dots (2.3.2)$$

$P^{-1}(r)$ จะสามารถหาอินเวอร์สได้ต่อเมื่อ $r \geq m$

ดังนั้นสมการ 2.3.1 สามารถจัดรูปใหม่ได้เป็น

$$P^{-1}(r) \hat{O}(r) = q(k) y(k) X(k)$$

$$\text{หรือ } \hat{O}(r) = P(r) \sum_{k=1}^r q(k) y(k) X(k) \dots (2.3.3)$$

จากสมการ 2.3.3 จะจัดใหม่ได้เป็น

$$P^{-1}(r) \hat{O}(r) = \sum_{k=1}^{r-1} q(k) y(k) X(k) + q(r) y(r) X(r) \dots (2.3.4)$$

จากสมการ 2.3.1 จะได้

$$\sum_{k=1}^{r-1} q(k) y(k) X(k) = \left[\sum_{k=1}^{r-1} q(k) X(k) X^T(k) \right] \hat{O}(r-1) \dots (2.3.5)$$

แทนค่าสมการ 2.3.5 ลงใน 2.3.4 จะได้

$$P^{-1}(r) \hat{O}(r) = \left[\sum_{k=1}^{r-1} q(k) X(k) X^T(k) \right] \hat{O}(r-1) + q(r) y(r) X(r) \dots (2.3.6)$$

ทำการบวกและลบด้านขวามือของสมการ 2.3.6 ด้วย $q(r) X(r) X^T \hat{O}(r-1)$ จะได้

$$\begin{aligned} P^{-1}(r) \hat{O}(r) &= \left[\sum_{k=1}^{r-1} q(k) X(k) X^T(k) \right] \hat{O}(r-1) + q(r) X(r) [y(r) \\ &\quad - X^T(r) \hat{O}(r-1)] + q(r) X(r) X^T(r) \hat{O}(r-1) \\ &= \left[\sum_{k=1}^{r-1} q(k) X(k) X^T(k) \right] \hat{O}(r-1) \\ &\quad + q(r) X(r) [y(r) - X^T(r) \hat{O}(r-1)] \dots (2.3.7) \end{aligned}$$

จากคำจำกัดความของ $P^{-1}(r)$ ในสมการ 2.3.2 สมการ 2.3.7 จะเปลี่ยนรูปเป็น

$$P^{-1}(r) \hat{O}(r) = P^{-1}(r-1) \hat{O}(r-1) + q(r) X(r) [y(r) - X^T(r) \hat{O}(r-1)] \dots (2.3.8)$$

จะได้ว่า

$$\hat{O}(r) = \hat{O}(r-1) + P(r) q(r) X(r) [y(r) - X^T(r) \hat{O}(r-1)] \dots (2.3.9)$$

ดังนั้น $\hat{O}(r)$ จะหาได้จากค่าที่ประมาณก่อนหน้านี้ $\hat{O}(r-1)$ และจากค่าของข้อมูลที่อ่านเข้ามา $y(r), X(r)$ และค่าความสำคัญ $q(r)$

จากสมการ 2.3.2 จะได้ว่า

$$\begin{aligned} P^{-1}(r) &= \sum_{k=1}^r q(k) [X(k) X^T(k)] + q(r) X(r) X^T(r) \\ &= P^{-1}(r-1) + q(r) X(r) X^T(r) \dots (2.3.10) \end{aligned}$$

จากสมการ 2.3.10 เราจะต้องหาอินเวอร์สของเมตริกซ์ $P(r)$ และต้องรู้เมตริกซ์เริ่มต้น (initial matrix) P_0 แต่อย่างไรก็ตามเนื่องจากการหา



อินเวอร์สเมตริกซ์จะเสียเวลาในการคำนวณมากเราจึงหลีกเลี่ยงโดย

$$\text{กำหนด } H(r) = \sqrt{q(r)} X(r) \dots (2.3.11a)$$

$$\text{ดังนั้น } H(r)H^T(r) = q(r)X(r)X^T(r) \dots (2.3.11b)$$

จากนั้นคุณสมบัติการ 2.3.10 ตลอดด้วย $P(r)$ เข้าทางซ้าย จะได้

$$I = P(r)P^{-1}(r-1) + P(r)H(r)H^T(r) \dots (2.3.12)$$

คุณสมบัติการ 2.3.12 ด้วย $P(r-1)$ ทางขวาจะได้

$$P(r-1) = P(r) + P(r)H(r)H^T(r)P(r-1)$$

แต่เนื่องจากค่าพารามิเตอร์ที่เราจะทำการประมาณมีการเปลี่ยนแปลงตามเวลา ค่าผิดพลาดที่เกิดขึ้นจากการประมาณครั้งก่อน ๆ จะมีความสำคัญน้อยกว่าค่าผิดพลาดที่เกิดขึ้นในการประมาณครั้งนี้ ซึ่งจะมีผลต่อการประมาณครั้งต่อไป ดังนั้นการที่เราให้ความสำคัญของข้อมูลทั้งเก่าและใหม่เท่ากันจึงไม่เป็นการถูกต้อง

เราจึงต้องมีการปรับปรุงค่าโดยกำหนดค่าแฟคเตอร์การลืม (forgetting factor) λ , $0 < \lambda < 1$ เพื่อลดค่าความสำคัญของข้อมูลเดิมลงไปเรื่อย ๆ ทุกครั้งที่มีการประมาณ ดังนั้นค่าดัชนีราคาใหม่จะเป็นดังสมการ

$$J(r) = \sum_{k=1}^r \lambda^{r-k} [y(k) - \hat{0}^T(r)X(k)]^2$$

และจะได้ว่า

$$P(r-1) = P(r) + P(r)H(r)H^T(r)P(r-1) \dots (2.3.13)$$

คูณทางขวามือด้วย $H(r)$ จะได้

$$P(r-1)H(r) = P(r)H(r)[\lambda + H^T(r)P(r-1)H(r)] \dots (2.3.14)$$

คุณสมบัติการ 2.3.14 ด้วย

$$\begin{aligned} & [\{ \lambda + H^T(r)P(r-1)H(r) \}^{-1} H^T(r)P(r-1)] \text{ เข้าทางขวา} \\ & P(r-1)H(r) \{ \lambda + H^T(r)P(r-1)H(r) \}^{-1} H^T(r)P(r-1) \\ & = P(r)H(r)H^T(r)P(r-1) \dots (2.3.15) \end{aligned}$$

แทนค่า $P(r)H(r)H^T(r)P(r-1)$ จากสมการ 2.3.13 จะได้

$$\begin{aligned} & P(r-1)H(r) \{ \lambda + H^T(r)P(r-1)H(r) \}^{-1} H^T(r)P(r-1) \\ & = P(r-1) - \lambda P(r) \dots (2.3.16) \end{aligned}$$

จัดรูปใหม่จะได้

$$P(r) = \frac{P(r-1)}{\lambda} [1 - H(r) \{ \lambda + H^T(r)P(r-1)H(r) \}^{-1} H^T(r)P(r-1)] \dots (2.3.17)$$

จะเห็นได้ว่า เนื่องจาก $\{ \lambda + H^T(r)P(r-1)H(r) \}$ เป็นค่าสเกลาร์จึงไม่ต้องการอินเวอร์สเมตริกซ์เลยทำให้การประมาณค่าเป็นไปอย่างรวดเร็ว

สำหรับค่าประมาณเริ่มต้นของ P สามารถเลือกได้ตามใจชอบ แต่อย่างไรก็ตามการเลือกค่าเริ่มต้นที่เหมาะสมจะทำให้การคำนวณลู่เข้ารวดเร็วขึ้น

2.4 ตัวควบคุมแบบจูนปรับตัวเองชนิดกำหนดโพล

จากสมการ 2.2.2 เมื่อเราประมาณตัดค่า (neglect) สัญญาณรบกวน และเวลาหน่วงออกไป สมการจะลดรูปเหลือ

$$A(z^{-1})y(k) = B(z^{-1})u(k) \quad \dots(2.4.1)$$

เมื่อ u เป็นสัญญาณควบคุม และ y เป็นเอาต์พุตที่วัดได้

ให้ทรานสเฟอว์ฟังก์ชันจากสัญญาณคำสั่ง (Command signal) u_c ไปยังสัญญาณเอาต์พุตที่มีรูปแบบดังต้องการเป็น

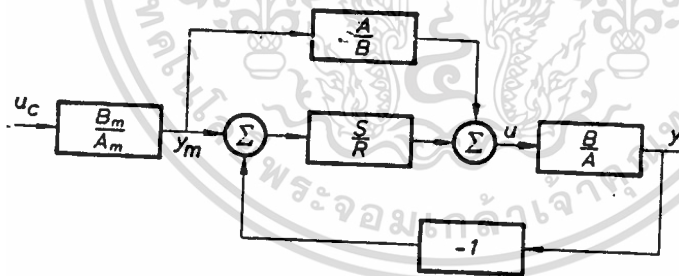
$$H_m = B_m / A_m \quad \dots(2.4.2)$$

สำหรับสิ่งรบกวนที่เราประมาณตัดทิ้งไปในตอนแรกนั้นเราจะแทนทางอ้อมในรูปออบเซิร์ฟเวอร์โพลีโนเมียล (Observer polynomial) A_o ซึ่งเป็นข้อจำกัด (Constraint) ของรูปแบบ H_m ที่ต้องการ

$$Ru = Tu_c - Sy \quad \dots(2.4.3)$$

$$\text{หรือ } u = (T/R) u_c - (S/R) y$$

ดังรูป 2.4.1



รูป 2.4.1 บล็อกไดอะแกรมของกฎการควบคุม u จากสมการ 2.4.1 และ 2.4.2 จะได้ความสัมพันธ์ระหว่างอินพุตและเอาต์พุตของระบบดังนี้

$$(AR + BS)y = BTu_c \quad \dots(2.4.4)$$

จะได้ว่าความสัมพันธ์นี้จะเท่ากับสมการ 2.4.2

$$BT / (AR + BS) = B_m / a_m \quad \dots(2.4.5)$$

เราต้องหาโพลีโนเมียล R, S, T ที่สอดคล้องกับสมการ 2.4.5 ก่อนแล้วนำกลับไปแทนหา u จากสมการ 2.4.3

$$\text{โดยที่ } \deg R \geq \deg T \quad \dots(2.4.6)$$

$$\deg R \geq \deg S \quad \dots(2.4.7)$$

เนื่องจากนี่เป็นเอกสารที่สงวนลิขสิทธิ์และสงวนไว้เพื่อใช้ภายในเท่านั้น ไม่อนุญาตให้นำไปใช้ประโยชน์ด้านการค้า

สัญญาณควบคุม u จึงจะถูกต้องสมเหตุสมผล (causal) เจ้าของเอกสารทุกครั้งที่มีการนำไปใช้

การกำจัดโพลและซีโร

จากสมการ 2.4.5 โพลของระบบลูปปิดจะเป็นคำตอบของสมการคุณสมบัตินี้ (Characteristic equation)

$$AR + BS = 0$$

ซีโรของระบบลูปปิดเป็นซีโรของโพลีโนเมียล B และ T ซึ่งโดยปกติแล้วอันดับ (order) ของระบบจะสูงกว่าอันดับของรูปแบบที่ต้องการ

เมื่อพิจารณาซีโรของระบบลูปเปิด ซึ่งก็คือซีโรของโพลีโนเมียล B ถ้าแฟคเตอร์ของ B ไม่เป็นแฟคเตอร์ของ B_m แล้วก็จะเป็นแฟคเตอร์ของ $AR + BS$ ดังนั้นเราจึงต้องกำจัดทิ้ง (cancel) โดยอาศัยโพลของระบบลูปปิด เนื่องจากระบบลูปปิดจะต้องมีเสถียรภาพและมีเพียงซีโรที่เสถียรเท่านั้นที่เราจะสามารถกำจัดออกไปได้ ดังนั้นเราจะแบ่งส่วน B ออกได้เป็น

$$B = B^+ B^- \dots (2.4.8)$$

เมื่อ B^- ประกอบด้วยซีโรที่อยู่ภายนอกยูนิตดิสก์ (unit disc) และ B^+ ประกอบด้วยซีโรภายในยูนิตดิสก์และสัมประสิทธิ์ของกำลังสูงสุดใน B^+ เป็น 1 ซึ่งเราจะเรียกโพลีโนเมียล B^+ นี้ว่าเป็นโมนิค (monic)

เนื่องจาก B^- ไม่สามารถเป็นแฟคเตอร์ของ $AR + BS$ ได้ ดังนั้นเราสามารถแบ่ง B_m ออกได้เป็น

$$B_m = B^- B_{m1} \dots (2.4.9)$$

ซึ่งแสดงว่าซีโรที่ไม่เสถียรนั้นเราไม่สามารถจะเปลี่ยนแปลงหรือกำจัดได้จะถูกรวมอยู่ใน B_m เสมอ และเนื่องจาก B^+ เป็นแฟคเตอร์ของ $AR + BS$ ดังนั้นจึงเป็นแฟคเตอร์ของ R ด้วยเช่นกัน จะได้ว่า

$$R = B^+ R_1 \dots (2.4.10)$$

ดังนั้นสมการ 2.4.5 จะเขียนได้ใหม่เป็น

$$T / (AR_1 + B^- S) = B_{m1} / A_m \dots (2.4.11)$$

เนื่องจากเราได้ประมาณตัดทิ้งสัญญาณรบกวนไปในตอนแรกดังนั้นเราจะนำกลับมาพิจารณาใหม่โดยแทนในรูป A_0 ซึ่งเป็นข้อจำกัดของรูปแบบ H_m ที่ต้องการ นั่นก็คือ A_0 เป็นแฟคเตอร์ของ $AR + BS$ ดังนั้นเราก็จะได้เงื่อนไข

$$AR_1 + B^- S = A_0 A_m \dots (2.4.12)$$

$$\text{และ } T = B_{m1} A_0 \dots (2.4.13)$$

ดังนั้นสมการคุณสมบัตินี้ของระบบปิดจะเป็น

$$AR + BS = B^+ A_0 A_m \dots (2.4.14)$$

การที่จะหาสัญญาณควบคุมในสมการ 2.4.3 เราจำเป็นต้องรู้ค่าโพลีโนเมียล R, S, T ซึ่ง T หาได้จากสมการ 2.4.13 และ R, S สอดคล้องกับ

สมการ 2.4.12 แต่เนื่องจากโพลีโนเมียล R_1 , S ที่สอดคล้องกับสมการดังกล่าวมีมากมาย ดังนั้นเราจึงต้องหาว่าในบรรดาโพลีโนเมียลเหล่านั้นโพลีโนเมียลใดที่จะทำให้กฎการควบคุมที่ได้จากสมการ 2.4.3 ถูกต้องสมเหตุผลตามข้อจำกัดของมัน (causal)

ทฤษฎี

ในการออกแบบการควบคุมแบบกำหนดโพลจะให้กฎการควบคุมที่ถูกต้องสมเหตุผล ถ้า $\deg A_m - \deg B_m \geq \deg A - \deg B \dots (2.4.15)$

และ $\deg A_o \geq 2\deg A - \deg A_m - \deg B^+ - 1 \dots (2.4.16)$

ซึ่งจากสมการ 2.4.15 แสดงว่า ค่าเวลาหน่วงของรูปแบบที่กำหนดจะต้องมีค่ามากกว่าหรือเท่ากับค่าเวลาหน่วงของระบบ

เนื่องจากระบบมักจะถูกรบกวนจากสิ่งรบกวนที่มีความถี่ต่ำ

(low-frequency disturbances) และค่าความผิดพลาดของรูปแบบที่กำหนดที่ความถี่ต่ำ (low-frequency modelling errors) ดังนั้นถ้าเราให้อัตราขยายป้อนกลับมีค่าสูงที่ความถี่ต่ำ ๆ (high feedback gain at low frequency) ก็จะลดทอนการรบกวนดังกล่าวได้โดย

กำหนดให้ $R_1 = (z-1)^1 R_2 \dots (2.4.17)$

ดังนั้นสมการ 2.4.12 จะกลายเป็น

$$A(z-1)^1 R_2 + B^- S = A_o A_m \dots (2.4.18)$$

ซึ่งจะให้คำตอบที่สมเหตุผลเมื่อสอดคล้องกับสมการ 2.4.15 และ

$$\deg A_o \geq 2\deg A - \deg A_m + \deg B^+ + 1 - 1 \dots (2.4.19)$$

จากที่ได้กล่าวมาทั้งหมดเราจะสามารถสรุปอัลกอริทึมของกัวร์ควบคุมแบบจูนปรับตัวเองที่ใช้การกำหนดโพลได้ดังนี้

อัลกอริทึมของการควบคุมแบบกำหนดโพล

ขั้นที่ 1 ประมาณค่าสัมประสิทธิ์ของโพลีโนเมียล A และ B ในสมการ 2.4.1 โดยวิธี RLS

ขั้นที่ 2 แทนที่ A และ B โดยค่าประมาณที่ได้จากขั้นที่ 1 และแก้สมการ 2.4.18 เมื่อเทียบกับ R_2 และ S และเลือกคำตอบที่สอดคล้องกับ

เอกสารนี้เป็นเอกสารที่สงวนไว้เพื่อการศึกษาเท่านั้น ไม่อนุญาตให้นำไปใช้ประโยชน์ด้านการค้า และ $\deg R_2$ อีกทั้ง $\deg A_o$ ต้อง $\geq \deg A - 1$ เอกสารทุกครั้งที่มีการนำไปใช้

และค่านวนหา R , T และ R_1 จากสมการ 2.4.10 , 2.4.13 และ 2.4.17 ตามลำดับ

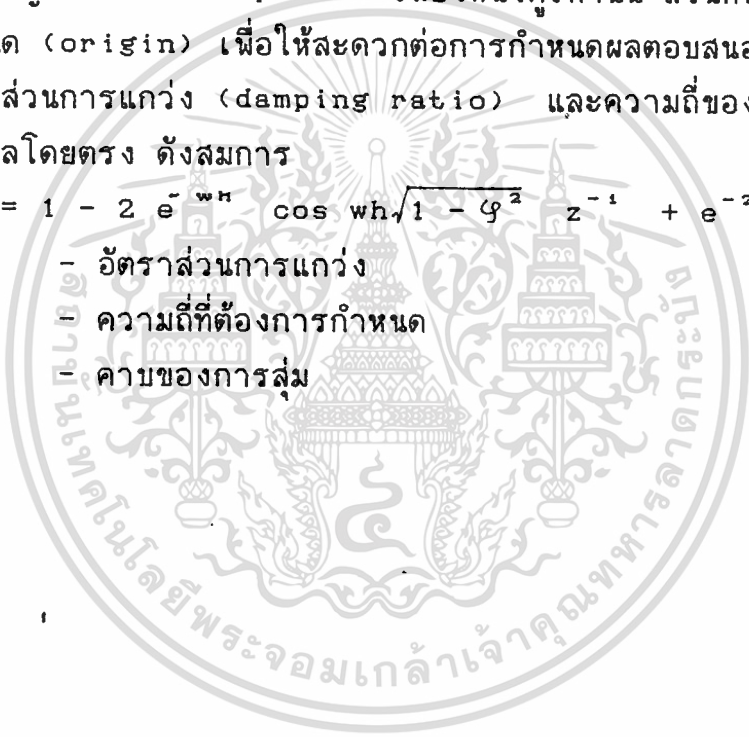
ขั้นที่ 3 คำนวนหาสัญญาณควบคุม u จากสมการ 2.4.3 ทำซ้ำขั้นที่ 1,2,3 ทุก ๆ ช่วงการสุ่ม

ซึ่งในทางปฏิบัติแล้วการกำหนดโพลโนเมียลของโพลของลูปปิดที่ต้องการ (desired closed loop poles polynomial) $A_m(z^{-1})$ จะเลือกโพลที่สำคัญ (dominant poles) เพียงหนึ่งคู่เท่านั้น ส่วนที่เหลือให้ไกล ๆ กับจุดกำเนิด (origin) เพื่อให้สะดวกต่อการกำหนดผลตอบสนอง ปกติจะเลือกค่าอัตราส่วนการแกว่ง (damping ratio) และความถี่ของผลตอบสนอง การกำหนดโพลโดยตรง ดังสมการ

$$A_m(z^{-1}) = 1 - 2e^{-\zeta\omega h} \cos \omega h \sqrt{1 - \zeta^2} z^{-1} + e^{-2\zeta\omega h} z^{-2}$$

โดยที่

- ζ อัตราส่วนการแกว่ง
- ω ความถี่ที่ต้องการกำหนด
- h คาบของการสุ่ม



บทที่ 3

การออกแบบ

แบ่งได้เป็น 2 ส่วนคือ

- ออกแบบการคำนวณของตัวควบคุม

- ออกแบบวงจรถ่ายที่ใช้ A/D ; D/A และ วงจรเลียนแบบ

การออกแบบการคำนวณของตัวควบคุม

- เมื่อทำการแปลงแซดของระบบอันดับที่ 2 จะได้ดังนี้

$$H = B(z)/A(z) = z \left[\frac{k_1(s+d)}{(s^2 + 2\zeta\omega_n s + \omega_n^2)} \right] = \frac{k(z-b)}{(z^2 + a_1z + a_2)}$$

- ตัวควบคุมเป็นแบบที่ไม่มี การตัดกันของโพลและซีโร และเพิ่มเกนที่ความถี่ต่ำโดยเพิ่มโพลที่มีค่าเท่ากับ 1 ให้โอเพ่นลูปทรานเฟอร์ฟังก์ชัน

- ต้องการระบบปิดที่มีทรานเฟอร์ฟังก์ชันเป็น

$$H_m(z) = \frac{B_m(z)}{A_m(z)} = \frac{(1 + p_1 + p_2)(z - b)}{(1 - b)(z^2 + p_1z + p_2)}$$

จากการพิจารณาดีกรีของโพลีโนเมียลต่างๆ (A_0, R, S, T) ตามทฤษฎี จึงสมมติว่าตัวควบคุมมีค่าพารามิเตอร์ดังนี้

$$A_0(z) = z^2$$

$$R(z) = (z - 1)(z + r_1)$$

$$S(z) = s_0z^2 + s_1z + s_2$$

$$T(z) = t_0z^2 = B_m z^2$$

แทนโพลีโนเมียลที่สร้างขึ้นลงในสมการ

$$\frac{T(z)}{A(z)R(z) + B(z)S(z)} = \frac{A_0(z)B_m(z)}{A_0(z)A_m(z)}$$

โดย $B^-(z) = K(z - b)$

$$B_m^-(z) = B_m/B^- = \frac{(1 + p_1 + p_2)}{K(1 - b)}$$

$$r_1 = \frac{(b^4 + p_1 b^3 + p_2 b^2)}{(b^2 + a_1 b + a_2)(b-1)} - b$$

$$s_2 = (-r_1 a_2) / (K b)$$

$$s_1 = (s_2 K - r_1 a_1 + (r_1 - 1) a_2) / (K b)$$

$$s_0 = (p_1 - a_1 - (r_1 - 1)) / K$$

$$t_0 = (1 + p_1 + p_2) / (k(1 - b))$$

นำไปเขียนเป็นสมการหา u

$$u(n) = t_0 s^p - s_0 y(n_0) - s_1 y(n-1) - s_2 y(n-2) - (r_1 - 1) u(n-1) + r_1 u(n-2)$$

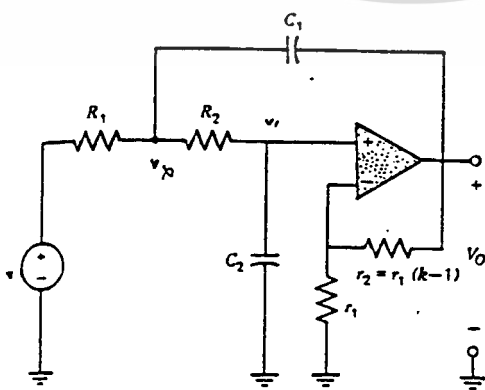
การออกแบบวงจรเลียนแบบระบบ

- ใช้วงจรดังรูปที่ 3.1

- มีทรานส์เฟอร์ฟังก์ชันเป็น

$$H(s) = \frac{k(R_1 R_2 C_1 C_2)}{(s^2 + (1/R_1 C_1 + 1/R_2 C_1 + (1-k)/R_2 C_2)s + 1/R_1 R_2 C_1 C_2)}$$

$$: k = 1 + r_2 / r_1$$



รูปที่ 3.1 แสดงวงจรเลียนแบบระบบ

บทที่ 4

ผลการทดลอง

การทดลองนี้ทำขึ้นเพื่อทดสอบการควบคุมระบบโดยใช้วิธี โพลเพลสเมนต์ โดยทำการประมาณสมการของระบบด้วยวิธี ลิสแอสควร์ โดยทดลองกับระบบที่เลียนแบบขึ้นด้วยคอมพิวเตอร์และระบบที่เลียนแบบด้วยวงจรอิเล็กทรอนิกส์

ควบคุมระบบที่ถูกจำลองบนคอมพิวเตอร์

-ทำการควบคุมระบบที่มีทรานส์เฟอ์ฟังก์ชันเป็น

$$\frac{K(\omega_n)}{s^2 + 2\zeta\omega_n s + \omega_n^2} \Rightarrow \frac{K_1(z-b)}{z^2 + a_1z + a_2}$$

-ช่วงเวลากการลุ่มมีค่า 0.33 วินาที

-ค่าระบบปิดที่กำหนดให้กับตัวควบคุมคือ

$$H_m(z) = \frac{(1+p_1+p_2)(z-b)}{(1-b)(z^2+p_1z+p_2)}$$

-ค่า p_1 และ p_2 กำหนดโดยการเลือก และ ของระบบปิดที่เราต้องการ

-ทำการลุ่มจำนวน 600 ครั้ง $n=0$ จนถึง $n=599$

ตอนที่ 1

-ระบบมีค่าต่างๆ ดังนี้ $\zeta = 0.4$

$$\omega_n = 0.31 \text{ เรเดียน/วินาที}$$

$$K = 2$$

-การประมาณสมการของระบบใช้ค่าพอเกตตั้งแฟคเตอร์ = 0.97

-ต้องการควบคุมให้ระบบปิดมีค่า $\zeta = 0.707$

$$\omega_n = 0.25 \text{ เรเดียน/วินาที}$$

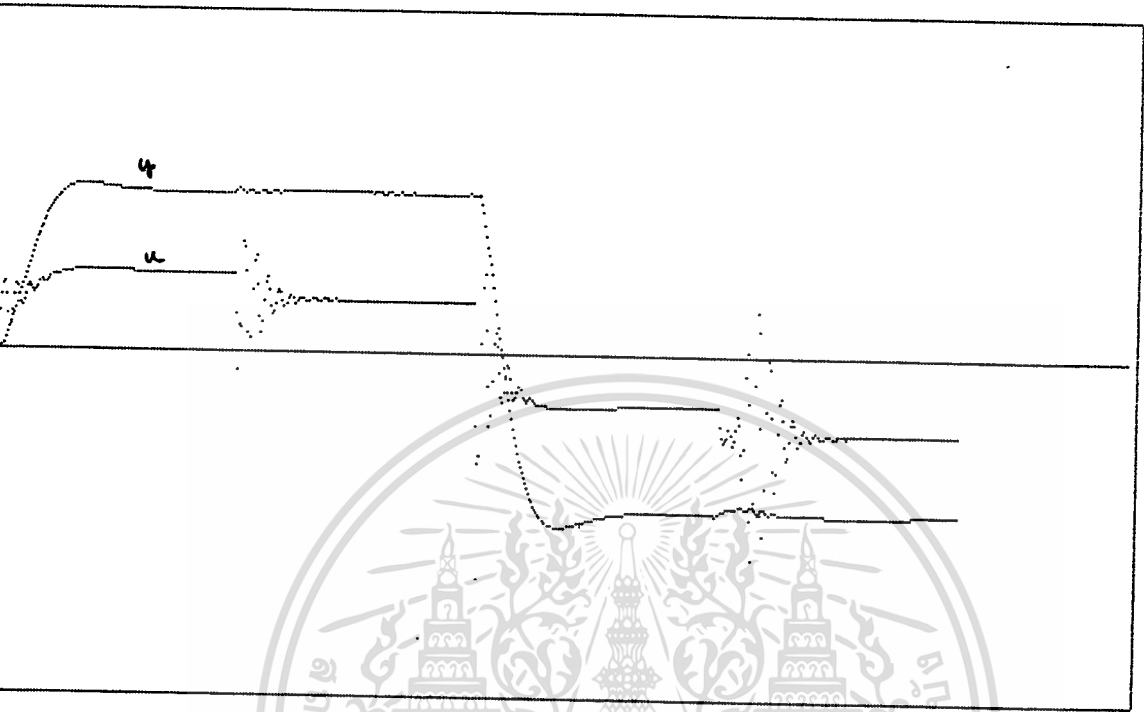
-ทำการบ้อนค่า เซตพอยน์ เป็นสเตป 1 หน่วยที่ $n=0$

-ที่ $n=150$ ค่า K ของระบบเปลี่ยนจาก $K=2$ เป็น $K=3$

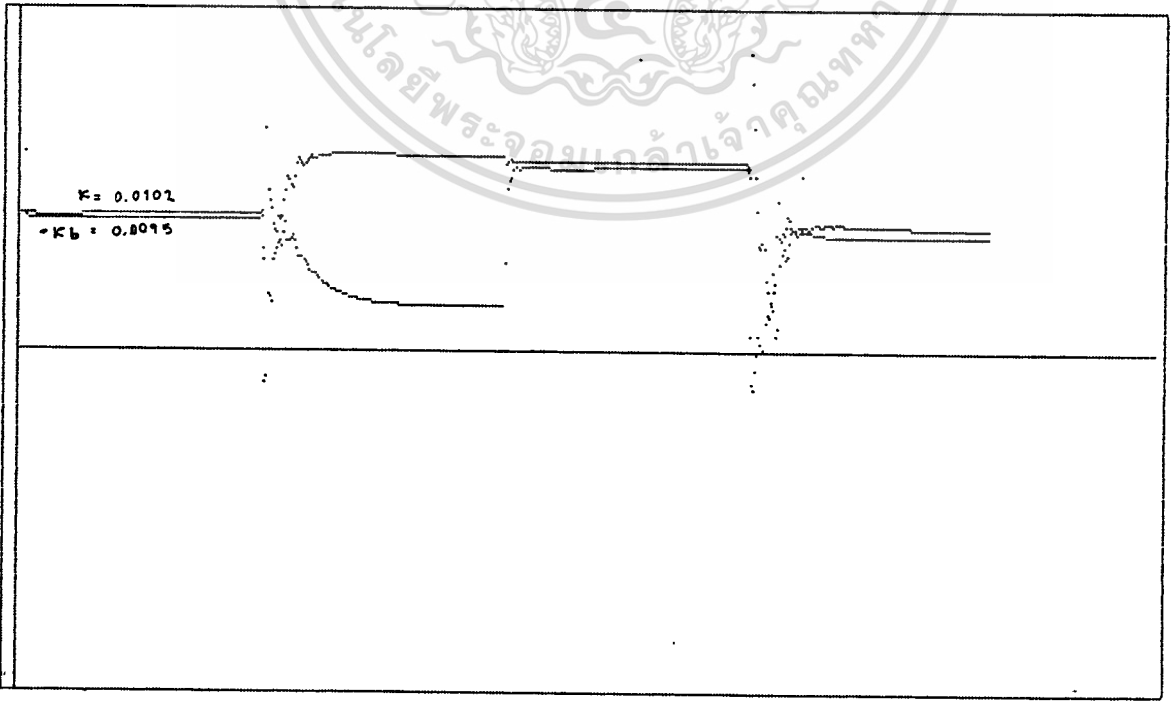
-ที่ $n=300$ ค่าเซตพอยต์ เปลี่ยนจาก $SP=1$ เป็น $SP=-1$

-ที่ $n=450$ ค่ารับ K ใช้ของระบบเปลี่ยนจาก $K=3$ เป็น $K=2$ โดยขั้นตอนการคำนวณ

ไม่ว่ากรณีที่ได้ผลตอบสนองและค่าพารามิเตอร์ดังรูป 4.1, 4.2, และ 4.3 ึ่งที่มีการนำไปใช้

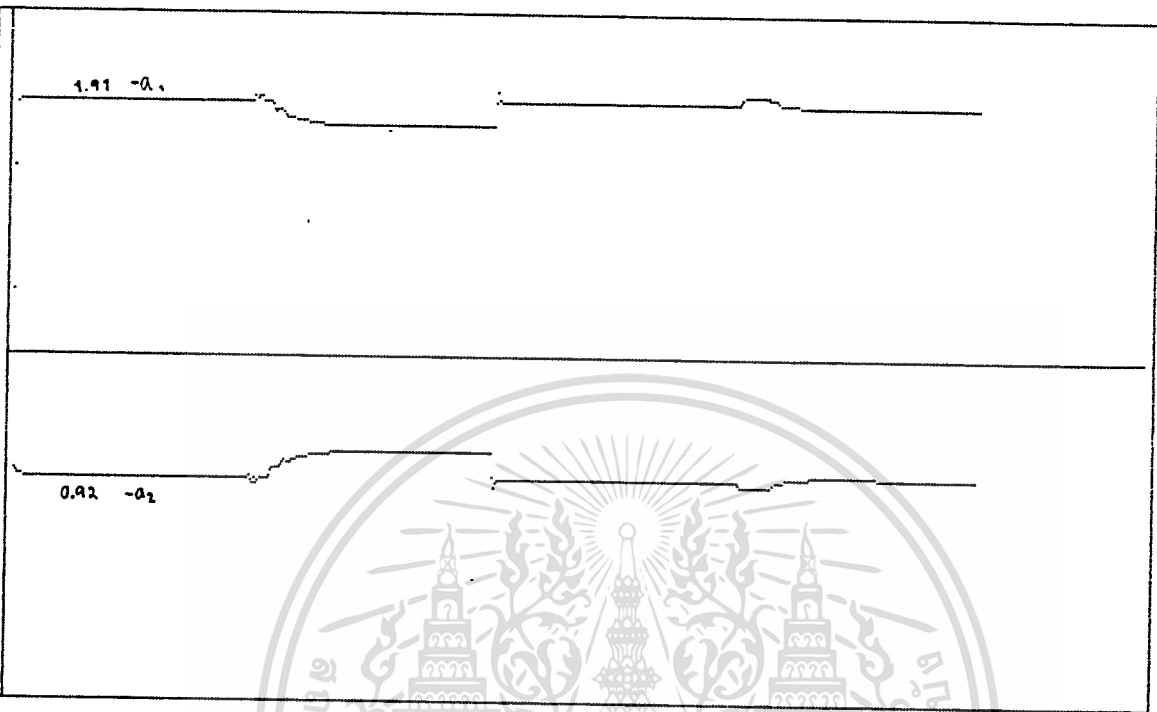


รูปที่ 4.1 แสดงการตอบสนองของระบบในตอนที่ 1



รูปที่ 4.2 แสดงการประมาณค่าพารามิเตอร์ของระบบในตอนที่ 1

เอกสารนี้เป็นเอกสารสงวนลิขสิทธิ์ของภาควิชาวิศวกรรมเครื่องกล มหาวิทยาลัยเทคโนโลยีพระจอมเกล้าเจ้าคุณทหารลาดกระบัง ไม่อนุญาตให้นำไปประโยชน์ด้านการค้า ไม่ว่ากรณีใดๆทั้งสิ้น อีกทั้งห้ามมั่วตัดแปดแปลงเนื้อหา และต้องอ้างอิงถึงเจ้าของเอกสารทุกครั้งที่มีการนำไปใช้



รูปที่ 4.3 แสดงการประมาณค่าพารามิเตอร์ของระบบในตอนที่ 1

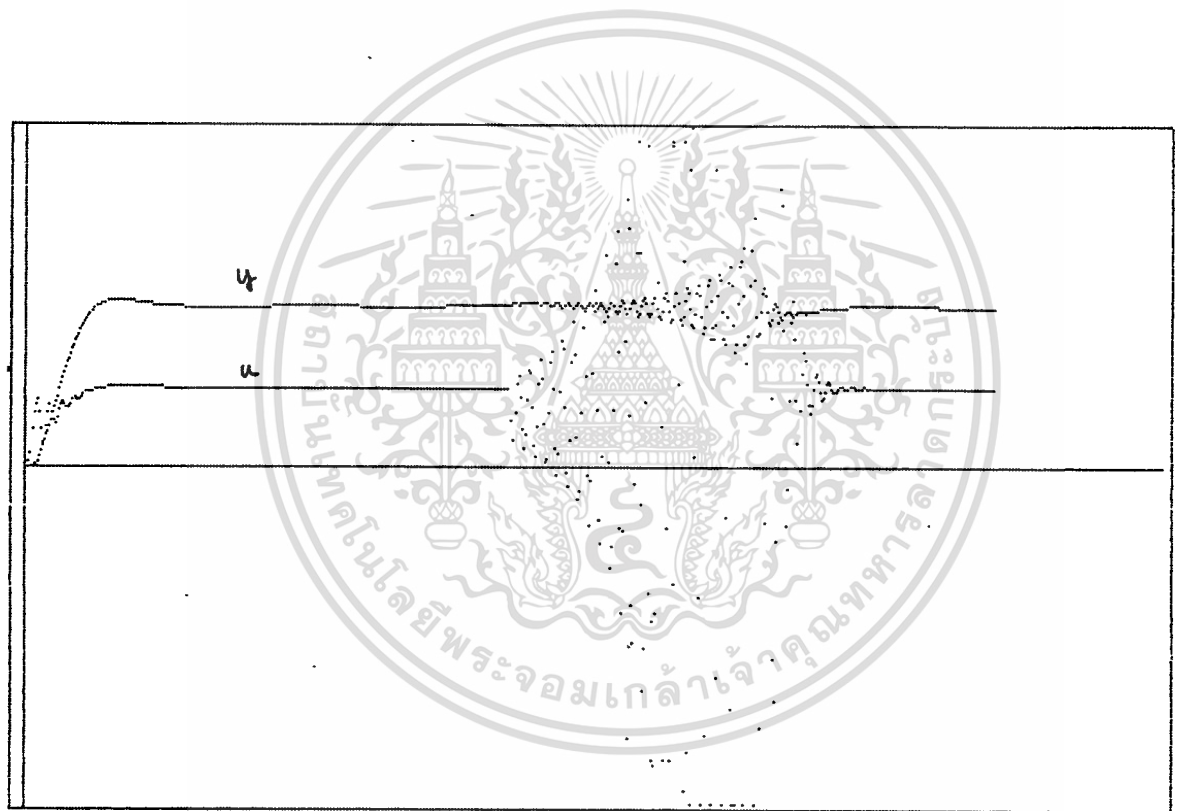
ตอนที่ 2 ทดสอบการควบคุมระบบที่พารามิเตอร์เปลี่ยนแปลงโดยไม่ใช้
ตัวควบคุมปรับตัวเอง

- ใช้ระบบควบคุมของตอนที่ 1 แต่ใช้แบบปรับตัวเองจนถึง $h=100$ จึง
หยุดปรับตัวเอง

- ที่ $n=300$ เปลี่ยนเกน K จาก 2 เป็น 3

- ที่ $n=450$ เปลี่ยนเกน K จาก 3 เป็น 2

- ผลตอบสนองแสดงได้ดังรูป 4.4 เห็นได้วาระบบไม่เสถียร

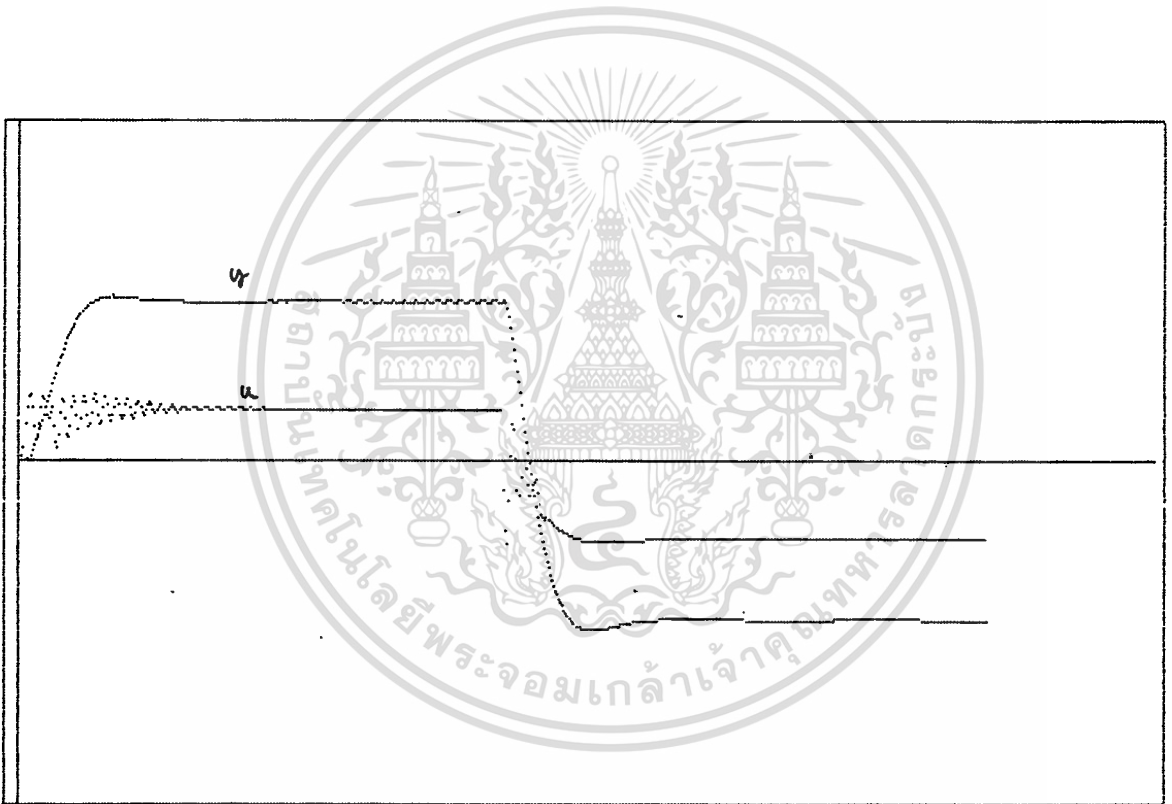


รูปที่ 4.4 แสดงการตอบสนองของระบบในตอนที่ 2

ตอนที่ 3 ทดสอบผลของการเปลี่ยนแปลงค่าเกน (K) ของระบบขณะในช่วง ทรานส์เซียน

-ใช้ระบบควบคุมเดียวกับตอนที่ 1 แต่ให้จุดที่เปลี่ยนเกนของระบบเป็นที่ ตำแหน่ง $n=50$ และ $n=350$ แทนตำแหน่งที่ $n=150$ และ $n=450$

-ผลการตอบสนองดังรูปที่ 4.5 แสดงให้เห็นว่ามีผลต่อการแกว่งของค่า x เล็กน้อยในช่วงทรานส์เซียน

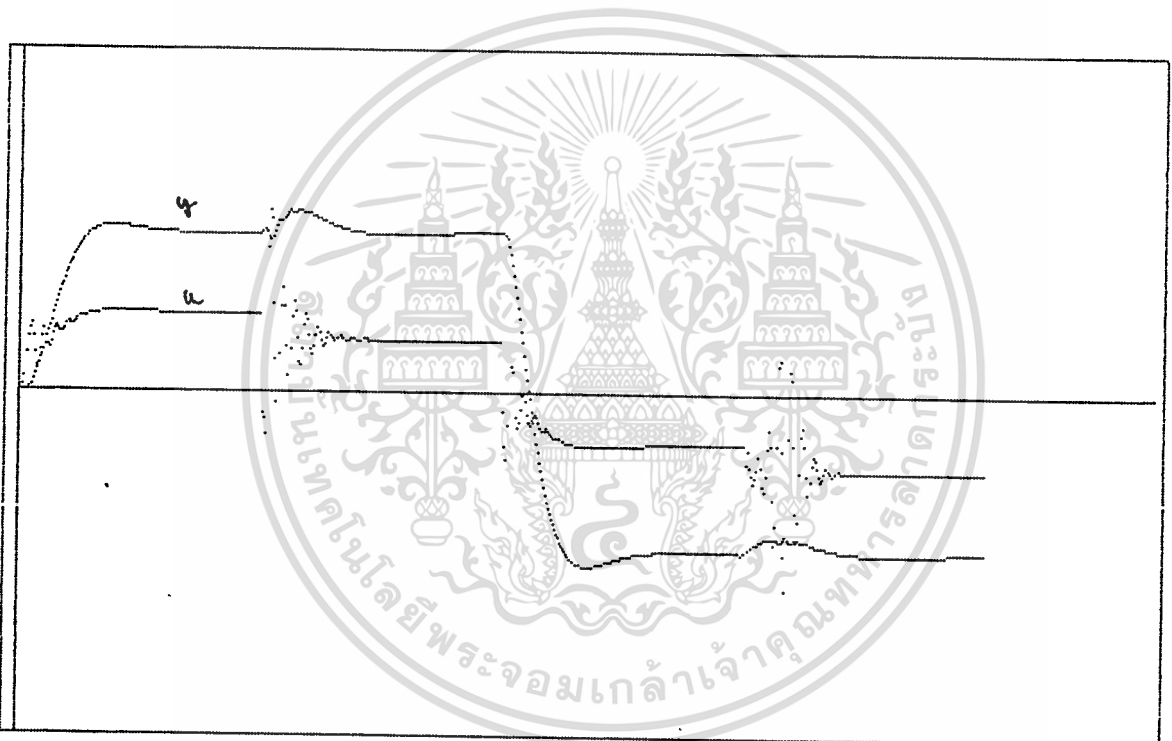


รูปที่ 4.5 แสดงการตอบสนองของระบบในตอนที่ 3

ตอนที่ 4 ทดสอบผลของค่าพอร์เกตติ้งแฟคเตอร์

-ทำการทดสอบเช่นเดียวกับตอนที่ 1 แต่ในส่วนของการประมาณระบบใช้ค่าพอร์เกตติ้งแฟคเตอร์เป็น 0.93 แทน 0.97

-ผลดังรูปที่ 4.6-4.8 จะเห็นว่าค่าที่ได้แกว่งกว่าในตอนที่ 1 จะประมาณได้เร็วกว่า



รูปที่ 4.6 แสดงการตอบสนองของระบบในตอนที่ 4

$$K = 0.0102$$

$$-Kb = 0.0095$$

รูปที่ 4.7 แสดงการประมาณค่าพารามิเตอร์ของระบบในตอนี่ 4

$$-a_1 = 1.11$$

$$-a_2 = 0.12$$

รูปที่ 4.8 แสดงการประมาณค่าพารามิเตอร์ของระบบในตอนี่ 4

เอกสารนี้เป็นเอกสารที่สงวนลิขสิทธิ์ไว้สำหรับใช้ในวงการศึกษาเท่านั้น ไม่อนุญาตให้นำไปใช้ประโยชน์ด้านการค้า

ไม่ว่ากรณีใดๆทั้งสิ้น อีกทั้งห้ามเผยแพร่ลงบนสื่อออนไลน์ และต้องอ้างอิงถึงเจ้าของเอกสารทุกครั้งที่มีการนำไปใช้

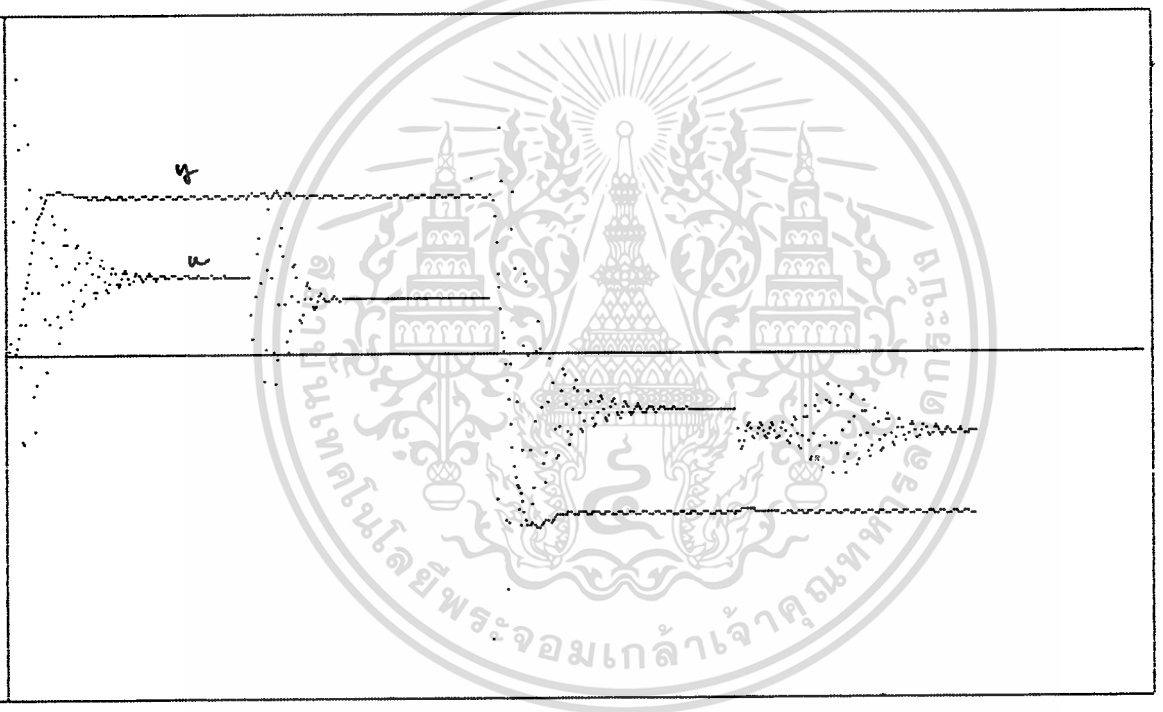
ตอนที่ 5 ทดสอบผลของการกำหนดค่าต่างๆของระบบบิตที่ต้องการ

-ขั้นตอนการทำเช่นตอนที่ 1 แต่เปลี่ยนค่าระบบบิตที่ต้องการเป็น

$$f_s = 0.707$$

$$\omega_n = 0.3$$

-จากผลดังรูปที่ 4.9 แสดงให้เห็นว่าเมื่อเลื่อนค่า ω_n เข้าไปใกล้ f_s ของระบบจะทำให้ n แกว่งมากขึ้น



รูปที่ 4.9 แสดงการตอบสนองของระบบในตอนที่ 5

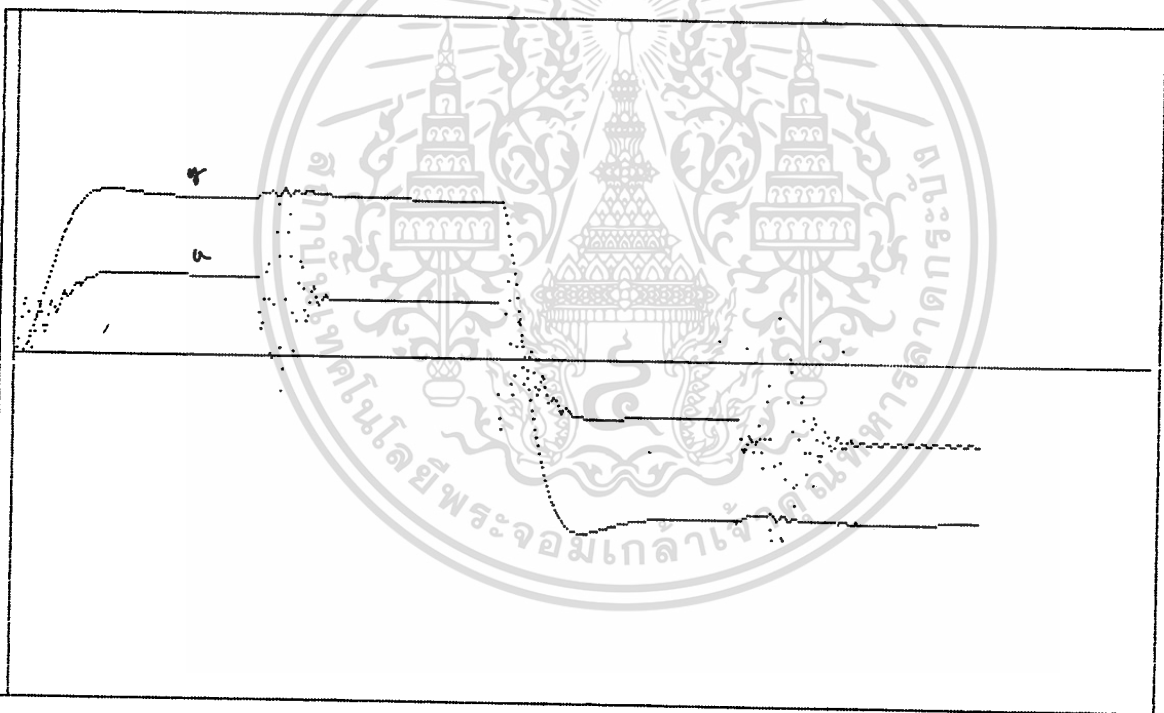
ตอนที่ 6 ทดสอบผลของค่าแอมป์ของระบบที่จะควบคุม

-ทำการทดลองในตอนี่ 1 อีก 2 ครั้ง

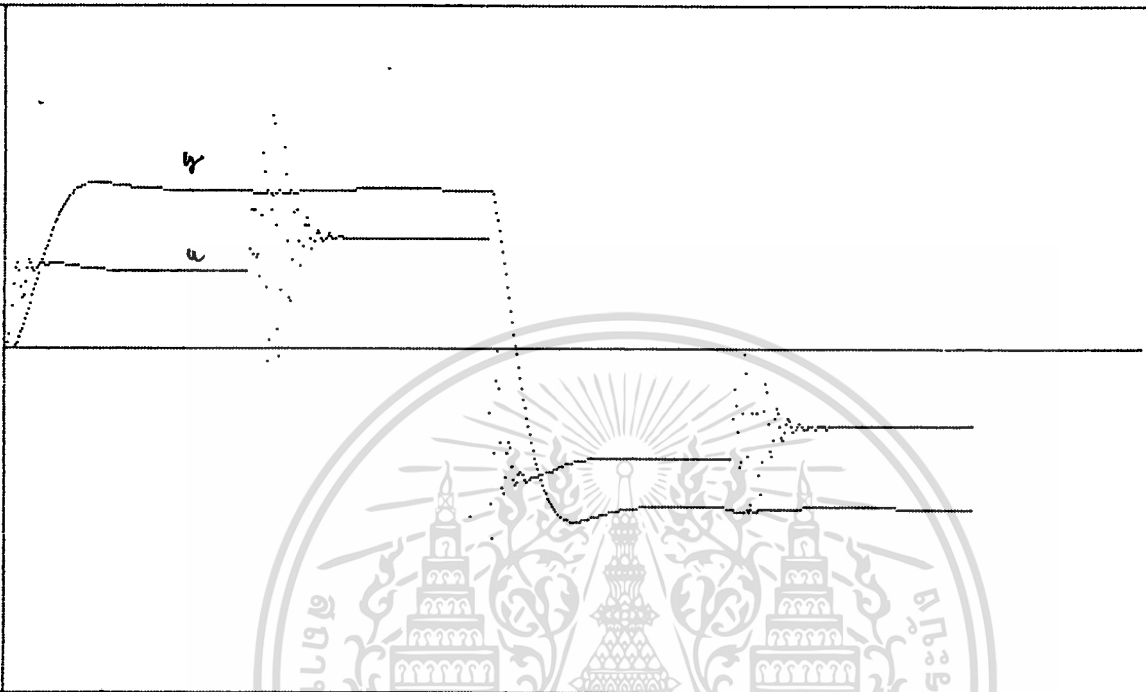
ครั้งที่ 1 เปลี่ยนค่าแอมป์ ของระบบเป็น 0.1

ครั้งที่ 2 เปลี่ยนค่าแอมป์ ของระบบเป็น 0.9

-ผลของครั้งที่ 1 และ 2 แสดงได้ดังรูปที่ 4.10 และ 4.11 แสดงให้เห็นถึงผลตอบสนองที่คล้ายกัน



รูปที่ 4.10 แสดงการตอบสนองของระบบในตอนี่ 6



รูปที่ 4.11 แสดงการตอบสนองของระบบในตอนที่ 6

การควบคุมระบบที่เลียนแบบโดยใช้วงจรอิเล็กทรอนิกส์

ตอนที่ 7

-นำวงจรในบทที่แล้วมาสร้างระบบที่มีค่าดังนี้

$$K = 1.7$$

$$\omega_n = 0.31 \text{ เรเดียน/วินาที}$$

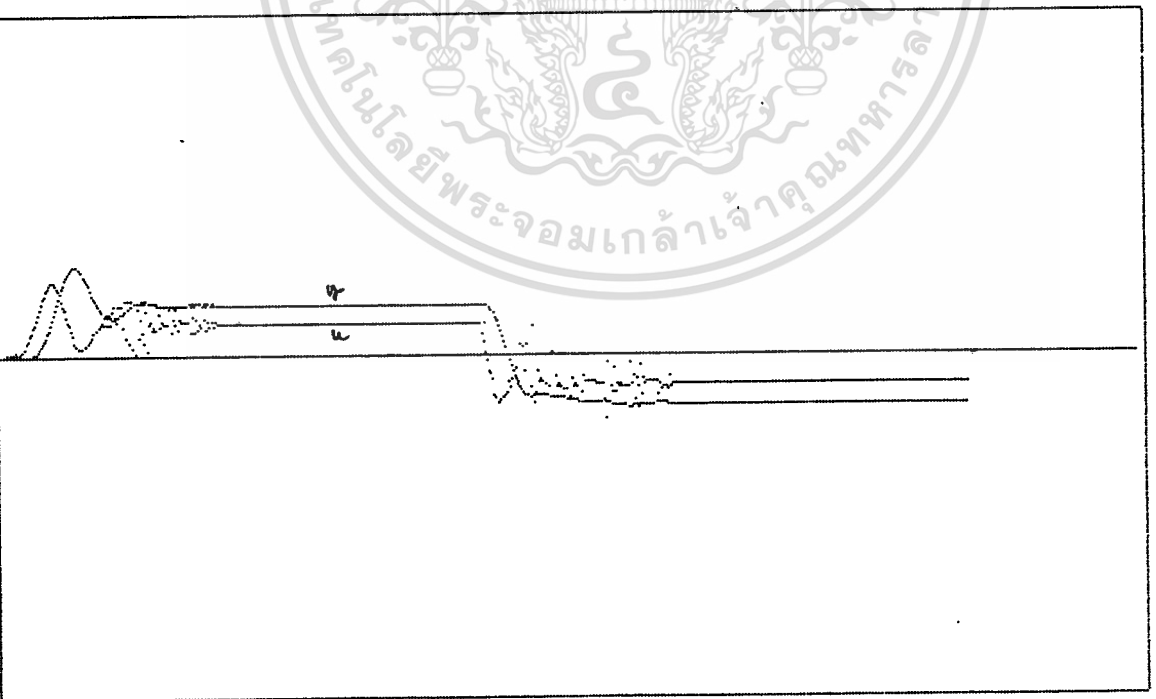
$$\zeta = 1.3$$

-ระบบควบคุมนี้มีช่วงเวลากการลุ่มเป็น 0.17 วินาที

-ควบคุมให้ระบบปิดที่ได้ที่ $p_1 = -1.832$; $p_2 = 0.839$

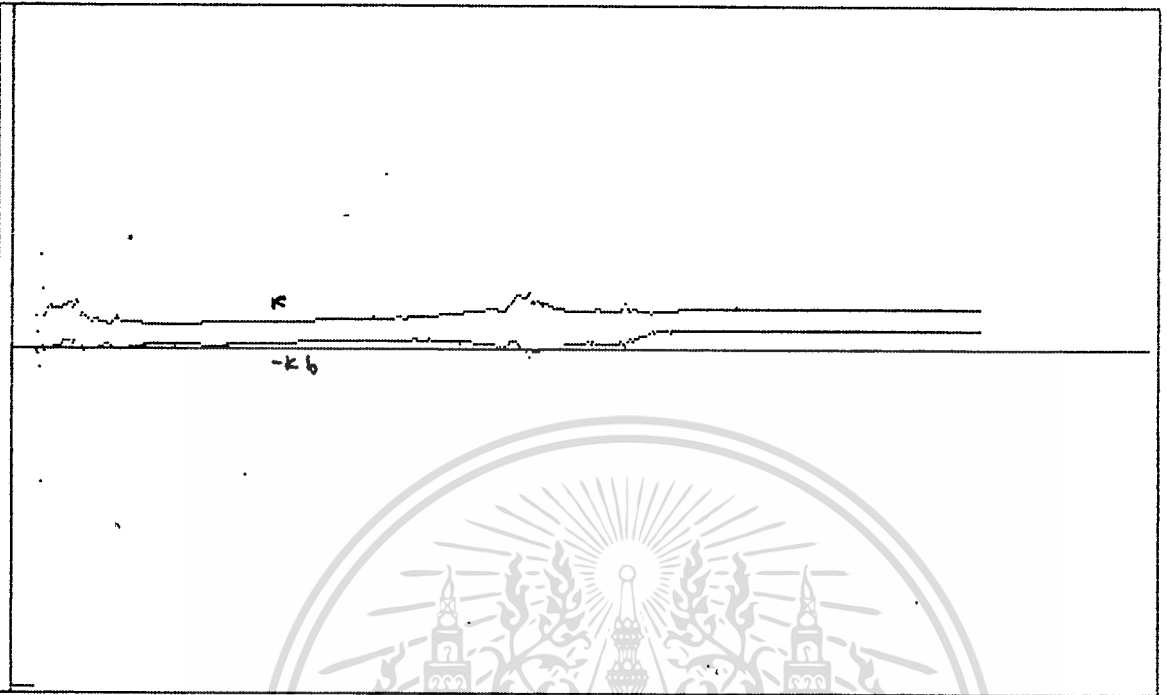
-ใช้การประมาณค่าระบบโดยมีค่าฟอร์เกตตั้งแพคเตอร์ = 0.99

-ผลการทดลองดังรูป 4.12-4.14 จะเห็นว่าค่าพารามิเตอร์ที่ประมาณได้มีค่าเลื่อนไม่คงที่ เป็นผลเนื่องมาจากสัญญาณรบกวนซึ่งเกิดจากวงจร A/D และ D/A ซึ่งถ้าเปลี่ยนเป็นขนาดข้อมูล 12 บิตจะทำให้สัญญาณรบกวนนี้ลดลง

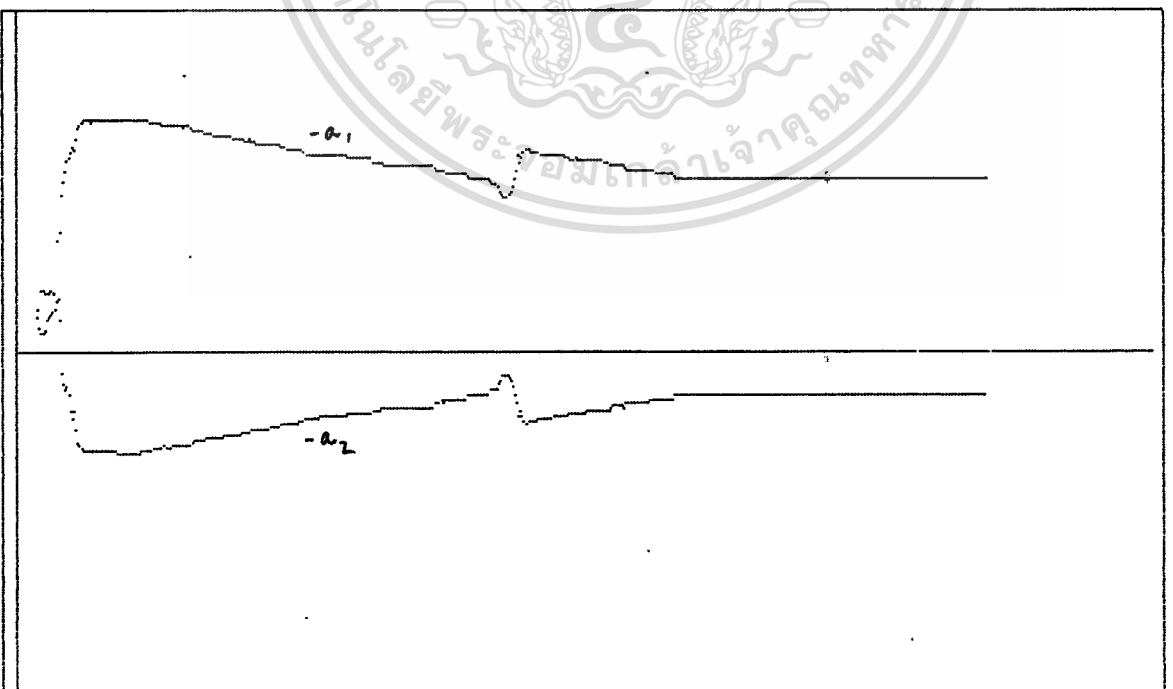


รูปที่ 4.12 แสดงการตอบสนองของระบบในตอนี่ 7

เอกสารนี้เป็นเอกสารที่สงวนไว้สำหรับการใช้งานเพื่อการศึกษาเท่านั้น ไม่อนุญาตให้นำไปใช้ประโยชน์ด้านการค้า
ไม่ว่ากรณีใดๆทั้งสิ้น อีกทั้งห้ามมิให้ดัดแปลงเนื้อหา และต้องอ้างอิงถึงเจ้าของเอกสารทุกครั้งที่มีการนำไปใช้



รูปที่ 4.13 แสดงการประมาณค่าพารามิเตอร์ของระบบในตอนที่ 7



เอกสารนี้รูปที่ 4.14 แสดงการประมาณค่าพารามิเตอร์ของระบบในตอนที่ 7 โยชน์ด้านการค้า
ไม่ว่ากรณีใดๆทั้งสิ้น อีกทั้งห้ามมิให้ตัดแปลงเนื้อหา และต้องอ้างอิงถึงเจ้าของเอกสารทุกครั้งที่มีการนำไปใช้

บทที่ 5
บทสรุปและวิจารณ์

บทนี้เป็นบทสุดท้ายของปริญญาพันธ ซึ่งเป็นการสรุปขั้นตอนการทำปริญญาพันธที่ได้ทำมา โดยจะกล่าวถึงเหตุผลที่ใช้ แนวการแก้ไขและแนวการปรับปรุง เพื่อพัฒนาตัวควบคุมให้มีประสิทธิภาพในการควบคุมเพิ่มขึ้น

สรุปการทำปริญญาพันธ

สำหรับการวิจัยนี้มีจุดประสงค์ใหญ่คือ การพัฒนาการควบคุมโดยใช้ไมโครคอมพิวเตอร์ทำหน้าที่เป็นตัวควบคุมแบบจูนปรับตัวเอง เพื่อควบคุมกระบวนการที่ไม่ทราบค่าพารามิเตอร์ที่แน่นอนให้มีความเสถียรและดีขึ้น รวมทั้งมีความแม่นยำและมีความสะดวกรวดเร็วในการควบคุม การใช้ตัวควบคุมแบบจูนปรับตัวเองนี้มีข้อได้เปรียบคือ สามารถที่จะให้ผลตอบของกระบวนการที่มีค่าเท่ากับค่าที่ตั้งไว้ไม่ว่ากระบวนการที่ควบคุมอยู่จะมีการเปลี่ยนแปลงพารามิเตอร์หรือมีสิ่งรบกวนต่าง ๆ เกิดขึ้นก็ตาม แต่ทั้งนี้และทั้งนั้นการควบคุมแบบจูนปรับตัวเองนี้จะต้องคำนึงถึงเสถียรภาพ สมรรถนะและการลู่เข้าของระบบซึ่งขึ้นอยู่กับรูปแบบของกระบวนการและอัลกอริทึมที่ใช้

แต่การควบคุมแบบจูนปรับตัวเองมีลักษณะการควบคุมหลายชนิด การนำมาใช้จึงต้องพิจารณาว่าการควบคุมชนิดใดบ้างสามารถนำมาใช้ได้โดยใช้ไมโครคอมพิวเตอร์เป็นตัวควบคุม เนื่องจากการควบคุมแบบจูนปรับตัวเองเป็นการควบคุมแบบเวลาจริง (Real time) ทำให้สมรรถนะของการควบคุมขึ้นอยู่กับขีดความสามารถของไมโครคอมพิวเตอร์และเวลาที่ใช้ในอัลกอริทึมของการควบคุมแบบจูนปรับตัวเอง และเราก็ได้เลือกลักษณะการควบคุมแบบกำหนดโพล ซึ่งสามารถกำหนดผลตอบให้มีลักษณะตามที่กำหนดได้โดยที่มีความมั่นคงเหนือกว่าการควบคุมลักษณะอื่น ๆ และสามารถใช้ได้กับระบบชนิดต่าง ๆ ได้หลากหลายที่สุดเนื่องจากสัญญาณรบกวน (Noise) ที่เกิดขึ้นในกระบวนการมีผลต่อการควบคุมน้อย ทำให้การประมาณค่าของพารามิเตอร์ สามารถใช้ในการประมาณแบบ RLS ได้

จากผลการทดลองจะเห็นว่า การควบคุมชนิดการกำหนดโพลซึ่งสามารถกำหนดลักษณะของผลตอบของกระบวนการได้นั้น ทำให้ผลตอบของกระบวนการและตัวควบคุมค่อนข้างเรียบไม่ไวต่อการเปลี่ยนแปลงของค่าพิดนลาดและสามารถเข้าสู่สภาวะคงตัวได้ตามต้องการ

แนวการปรับปรุงของตัวควบคุม

ตัวควบคุมที่สร้างขึ้นจัดว่าเป็นควบคุมที่อยู่ในขั้นทดลองใช้ ปัจจัยที่ใช้ในการควบคุมยังมีประสิทธิภาพไม่มากนัก เช่นโปรแกรมอัลกอริทึมที่ใช้ในการควบคุมอุปกรณ์อินเทอร์เฟซ (Interface) ต่าง ๆ โครงสร้างของอัลกอริทึมและการแทนรูปแบบของกระบวนการ เป็นต้น ซึ่งแต่ละส่วนยังมีรายละเอียดปลีกย่อยอยู่ อาจจะต้องปรับปรุงเพื่อความเหมาะสมในการใช้งานมากขึ้น แต่การแก้ไขในส่วนที่สำคัญ ๆ ได้แก้ไขเรียบร้อยแล้ว สำหรับการพัฒนาและปรับปรุงเพื่อให้ตัวควบคุมมีประสิทธิภาพและสมบูรณ์แบบมากขึ้นจะต้องคำนึงถึง

1. โปรแกรมและอัลกอริทึม เทคนิคการเขียนโปรแกรมมีความสำคัญในการควบคุม เนื่องจากการควบคุมกระบวนการในระบบเชิงเลขนี้อาศัยการคำนวณโดยใช้ไมโครคอมพิวเตอร์ ดังนั้นค่าของตัวแปรและพารามิเตอร์ในโปรแกรมจะต้องพิจารณาว่าไม่มีผลกระทบต่อตัวแปรหรือพารามิเตอร์ตัวอื่น ส่วนการพัฒนาอัลกอริทึมควรจะให้ประสิทธิภาพและความมั่นคงสูงมากขึ้น นอกจากนี้ควรพัฒนาเรื่องความเร็วของอัลกอริทึมในการควบคุมและขีดความสามารถ เช่น การเปลี่ยนอัลกอริทึมของการประมาณแบบเชิงเส้นมาใช้ในการประมาณแบบไม่เชิงเส้น ซึ่งจะทำให้ตัวควบคุมสามารถใช้ได้กับกระบวนการที่ไม่เชิงเส้นได้มีประสิทธิภาพมากขึ้น เป็นต้น

2. โครงสร้างของการแทนรูปแบบของกระบวนการ สำหรับในการทดลองเป็นการควบคุมแบบหนึ่งอินพุตหนึ่งเอาต์พุต อัลกอริทึมที่แทนกระบวนการจะอยู่ในรูปของโพลีโนเมียล ซึ่งการดัดแปลงเพื่อใช้ในระบบควบคุมกระบวนการที่มีขนาดใหญ่จะทำได้ยากต้องใช้เวลาในการคำนวณมาก ดังนั้นจึงควรเลือกการแทนรูปแบบที่สามารถดัดแปลงได้ง่ายกว่านี้ ซึ่งแนวโน้มของการพัฒนาการควบคุมแบบจูนปรับตัวเองนิยมมาใช้ในการควบคุมชนิดหลายอินพุตหลายเอาต์พุต โดยใช้สมการพลวัตมากขึ้น ซึ่งในอนาคตจะสามารถนำมาประยุกต์ใช้ในงานควบคุมด้วยไมโครคอมพิวเตอร์ได้อย่างแน่นอน

3. อุปกรณ์ที่ใช้ในตัวควบคุม ซึ่งได้แก่ ไมโครโปรเซสเซอร์ วงจร A/D และ D/A ควรเลือกใช้ชนิดที่มีความเร็วสูงและมีความละเอียด (จำนวนบิต) เพิ่มขึ้น จะทำให้การควบคุมกระบวนการมีสมรรถนะมากขึ้น และสามารถคลอบคลุมปัญหาในการควบคุมให้มากขึ้น

ตัวควบคุมในอุตสาหกรรม

การพัฒนาตัวควบคุมในอุตสาหกรรมถึงแม้ในปัจจุบันตัวควบคุมจะเปลี่ยนการนำไปใช้

จากการควบคุมแบบอนาล็อก (Analog) มาเป็นการควบคุมแบบดิจิทัล (Digital) โดยใช้ไมโครโพรเซสเซอร์เป็นตัวควบคุมแล้วก็ตาม แต่ลักษณะการควบคุมยังใช้การควบคุมแบบ PID เสียเป็นส่วนใหญ่ โดยทั่วไปตัวควบคุมในอุตสาหกรรมจะต้องมีความเชื่อถือ (Reliability) และความสามารถ พิเศษต่าง ๆ เช่น มีฟังก์ชันพิเศษที่ใช้ในระบบควบคุม สามารถทำหน้าที่แบบแยกตัว (Stand alone) หรือติดต่อกับผู้ควบคุม (Operator และ Supervisory) โดยผ่านบัส (Bus) ควบคุมได้ มีระบบความปลอดภัย (Security) ต่าง ๆ เป็นต้น การควบคุมจึงสามารถทำเป็นแบบตามลำดับชั้น (Hierarchical control system) ได้ สำหรับตัวควบคุมในปัจจุบันที่น่าสนใจได้แก่ SPMC ตัวควบคุมแบบโปรแกรมได้ (Programmable indicating controller) ซึ่งจัดว่าเป็นตัวควบคุมที่มีประสิทธิภาพ สามารถโปรแกรมใช้งานได้ตามความต้องการของผู้ใช้มีฟังก์ชันการทำงานหลายอย่างได้แก่ การควบคุมแบบ PID , แบบแคสเคด (Cascade control), การควบคุมแบบเลือกชนิดการควบคุมโดยอัตโนมัติ (Autoselector control) และการชดเชยเดดไทม์ (Dead time compensation) เป็นต้น แต่การพัฒนาส่วนใหญ่จะเป็นการพัฒนาทางด้านประสิทธิภาพของการควบคุมให้มีขนาดใหญ่ขึ้นเพื่อใช้ในโรงงานอุตสาหกรรม ซึ่งอย่างไรก็ตาม การพัฒนาตัวควบคุมแบบปรับตัวเอง ในอุตสาหกรรมนั้นก็มีความน่าสนใจ ตัวควบคุมที่น่าสนใจได้แก่ระบบผู้เชี่ยวชาญ (Expert system) เป็นตัวควบคุมแบบปรับตัวเองชนิดหนึ่งในอุตสาหกรรม มีลักษณะการควบคุมแตกต่างไปจากการควบคุมแบบจูนปรับตัวเองเพราะ ระบบผู้เชี่ยวชาญ เป็นโปรแกรมที่ใช้แก้ปัญหาในการควบคุม สามารถควบคุมกระบวนการแบบปรับตัวเองได้ โดยการประยุกต์ปัญญาประดิษฐ์ (Artificial intelligent) เข้ากับเทคนิคของการจดจำรูปแบบ (Pattern recognition) ประกอบกับภายในโปรแกรมได้บรรจุความรู้ (Knowledge) ประสบการณ์ (Experience) และความชำนาญของวิศวกรผู้ควบคุม ทำให้ ระบบผู้เชี่ยวชาญ สามารถตัดสินใจการควบคุมและปรับค่าพารามิเตอร์ของตัวควบคุมได้ด้วยเหตุผลที่ใกล้เคียงกับคน โดยไม่ต้องอาศัยแบบจำลองทางคณิตศาสตร์ของกระบวนการเข้ามาเกี่ยวข้องซึ่งเป็นข้อได้เปรียบเมื่อเทียบกับการควบคุมแบบปรับตัวเองทั่วไป นอกจากนี้ระบบผู้เชี่ยวชาญ ถูกออกแบบมาใช้ควบคุมกระบวนการแบบ เวลาจริง ทำให้การควบคุมมีประสิทธิภาพและถูกออกแบบให้ฉลาด (Intelligent) ทำให้โปรแกรมสามารถตัดสินใจเองได้ว่าการควบคุมควรจะเป็นอย่างไร ระบบผู้เชี่ยวชาญได้พัฒนาไปจนมี ฟังก์ชัน พิเศษได้แก่ ตัวกำหนดอัตราขยาย (Gain scheduler) เพื่อใช้กับกระบวนการที่ไม่เชิงเส้นจะเห็นว่า ระบบผู้เชี่ยวชาญไม่ว่ากรณีใดๆทั้งสิ้น อีกทั้งห้ามมิให้ดัดแปลงเนื้อหา และต้องอ้างอิงถึงเจ้าของเอกสารทุกครั้งที่มีการนำไปใช้

ออกแบบขึ้นด้วยเทคโนโลยีขั้นสูงและมีโครงสร้างที่ซับซ้อนตัวอย่างเช่น ใช้ไมโครโปรเซสเซอร์ที่เป็นแบบมัลติทาสก์ (Multi-tasking) และใช้โปรแกรมในการควบคุมหลายขั้นตอน เป็นต้น จากปัจจัยทั้งสองนี้เป็นความยากที่จะพัฒนาตัวควบคุมในขณะนี้ให้ไปได้ถึง การพัฒนาตัวควบคุมแบบปรับตัวเองที่เป็นไปได้ในขณะนี้อาจจะพัฒนาจากตัวควบคุมแบบจูนปรับตัวเองที่ได้พัฒนานี้ เนื่องจากเป็นการลงทุนที่ไม่สูงนัก ประกอบกับโครงสร้างที่ใช้สามารถดัดแปลงให้เหมาะสมกับการควบคุมได้ง่าย ทั้งสามารถควบคุมกระบวนการได้เป็นอย่างดี ในการพัฒนาเพื่อให้สามารถนำไปใช้ในอุตสาหกรรมควรรีให้มีฟังก์ชันการทำงานเหมือนกับตัวควบคุมที่ใช้ในอุตสาหกรรม เพื่อที่สามารถจะนำไปใช้ร่วมกับระบบควบคุมในอุตสาหกรรมได้อย่างมีประสิทธิภาพ ตัวอย่างเช่น สามารถติดต่อกับผู้ควบคุมได้เป็นต้น ซึ่งสิ่งเหล่านี้จะทำให้ตัวควบคุมที่จะพัฒนาเป็นตัวควบคุมแบบปรับตัวเองน่าสนใจมากในอุตสาหกรรม





เอกสารนี้เป็นเอกสารที่สงวนไว้สำหรับการใช้งานเพื่อการศึกษาเท่านั้น ไม่อนุญาตให้นำไปใช้ประโยชน์ด้านการค้า
ไม่ว่ากรณีใดๆทั้งสิ้น อีกทั้งห้ามมิให้ดัดแปลงเนื้อหา และต้องอ้างอิงถึงเจ้าของเอกสารทุกครั้งที่มีการนำไปใช้

type stp.pas

Program Self_Tuning_Controller;

type array1=array[1..10,1..10] of real;

Var sign,i,j,err,nv,kco: integer;

s : char;

msg:string[20];

ech,sp,det,gain,m : real;

y,u,ds,di,e,coef,H:array[1..10] of real;

P0:array1;

first:boolean;

k,b,a0,a1,r1,s0,s1,s2,t0,p1,p2:real;

type Image=Record

Point:Array[0..3,0..8191]of byte;

end;

label eee;

Procedure HgcMode(Mode:Byte);

Begin

Inline

```
($EB/$1A/$00/ ( call L0007 )
$20/$61/$50/$52/$0F/ ( db 20H,61H,50H,52H,0FH )
$19/$06/$19/$19/$02/ ( db 19H,06H,19H,19H,02H )
$0D/$0B/$0C/$02/$35/ ( db 0DH,0BH,0CH,02H,35H )
$2D/$2E/$07/$5B/$02/ ( db 2DH,2EH,07H,5BH,02H )
$58/$58/$02/$03/$00/ ( db 58H,58H,02H,03H,00H )
$00/ ( db 00H )
$58/ ( L0007: pop ax )
$8B/$76/$04/ ( mov si,[bp+4] )
$0B/$F6/ ( or si,si )
$74/$03/ ( jz L000B )
$8E/$0B/$00/ ( mov si,000BH )
$03/$F0/ ( L000B: add si,ax )
$8A/$BF/$03/ ( mov dx,03BFH )
$80/$01/ ( mov al,01 )
$EE/ ( out dx,al )
$2E/$8A/$04/ ( mov al,cs:[si] )
$B2/$88/ ( mov dl,0B8H )
$EE/ ( out dx,al )
$33/$C9/ ( xor cx,cx )
$B2/$B4/ ( mov dl,0B4H )
$8A/$C1/ ( L0009: mov al,cl )
$EE/ ( out dx,al )
$46/ ( inc si )
$2E/$8A/$04/ ( mov al,cs:[si] )
$42/ ( inc dx )
$EE/ ( out dx,al )
$4A/ ( dec dx )
$41/ ( inc cx )
$80/$F9/$0C/ ( cmp cl,0CH )
$75/$F0/ ( jnz L0009 )
$83/$EE/$0C/ ( sub si,0CH )
$2E/$8A/$04/ ( mov al,cs:[si] )
$0C/$0B/ ( or al,0B )
$B2/$B8/ ( mov dl,0B8H )
$EE) ( out dx,al )
```

End;

เอกสารนี้เป็นเอกสารที่สวอนไว้สำหรับการใช้งานเพื่อการศึกษาเท่านั้น ไม่อนุญาตให้นำไปใช้ประโยชน์ด้านการค้า

ไม่มีการตีพิมพ์สิ่งอื่น ๆ ที่ทั้งที่พิมพ์ให้ที่เผยแพร่และที่ยังยังไม่ถึงเข้าของเอกสาร) ทุกครั้งที่มีการนำไปใช้

Procedure Clear_Image;

Begin

Inline

```
($B9/$00/$B0/      (      mov  cx,8000H      )
$B8/$00/$B0/      (      mov  ax,0B000H    )
$BE/$C0/           (      mov  es,ax        )
$33/$C0/           (      xor  ax,ax        )
$33/$FF/           (      xor  di,di        )
$FC/               (      cld              )
$F3/$AB/           (      rep  stosw       )
```

End;

{-----}

Function BaseAddr(X,Y:Integer):Integer;

Begin

Inline

```
($B8/$56/$04/      (      mov  dx,[bp+4]    )
$B8/$03/$00/      (      mov  ax,3         )
$23/$C2/          (      and  ax,dx        )
$B1/$0D/          (      mov  cl,13        )
$D3/$E0/          (      shl  ax,cl        )
$50/              (      push ax           )
$D1/$EA/          (      shr  dx,1         )
$D1/$EA/          (      shr  dx,1         )
$BB/$C2/          (      mov  ax,dx        )
$B1/$5A/          (      mov  cl,90        )
$F6/$E1/          (      mul  cl           )
$5A/              (      pop  dx           )
$03/$C2/          (      add  ax,dx        )
($B8/$56/$04/      (      mov  dx,[bp+4]    )
$B1/$03/          (      mov  cl,3         )
$D3/$EA/          (      shr  dx,cl        )
$03/$C2/          (      add  ax,dx        )
$B9/$46/$08/      (      mov  [bp+8],ax    )
```

End;

{-----}

Procedure DrawPoint(X,Y:Integer;Color:Byte);

Begin

Inline

```
($50/              (      push  ax          )
$BB/$46/$08/      (      mov  ax,[bp+8]    )
$50/              (      push  ax          )
$BB/$46/$06/      (      mov  ax,[bp+6]    )
$50/              (      push  ax          )
$BB/BaseAddr/     (      mov  bx,BaseAddr )
$FF/$D3/          (      call  bx          )
$83/$EC/$06/      (      sub  sp,6         )
$59/              (      pop  ax           )
$5A/              (      pop  dx           )
$BB/$07/$00/      (      mov  ax,7         )
$23/$C2/          (      and  ax,dx        )
$8A/$C8/          (      mov  cl,al        )
$B0/$B0/          (      mov  al,80H       )
$D2/$E8/          (      shr  al,cl        )
$5E/              (      pop  si           )
$BB/$00/$B0/      (      mov  bx,0B000H    )
```

```

$8E/$C3/      (      mov  es,bx      )
$26/$8A/$24/  (      mov  ah,es:[si]   )
$8A/$4E/$04/  (      mov  cl,[bp+4]    )
$09/$C9/      (      or   cl,cl        )
$75/$07/      (      jnz  L0010        )
$F6/$D0/      (      not  al           )
$22/$C4/      (      and  al,ah        )
$EB/$03/$90/  (      jmp  L0011        )
$0A/$C4/      ( L0010: or   al,ah      )
$26/$88/$04)  ( L0011: mov  es:[si],al )
End;

```

{ ----- }

```

Procedure Line_AX(X1,X2,Y: Integer; Step: Integer);
  Var I : Integer;
  Begin
    I:=X1;
    Repeat
      DrawPoint(I,Y,255);
      I:=I+Step
    Until I>=X2
  End;

```

{ ----- }

```

Procedure Line_AY(Y1,Y2,X: Integer; Step: Integer);
  Var I : Integer;
  Begin
    I:=Y1;
    Repeat
      DrawPoint(X,I,255);
      I:=I+Step
    Until I>=Y2
  End;

```

{ ----- }

```

Procedure DrawSquare(X1,Y1,X2,Y2: Integer);
  Begin
    Line_AX(X1,X2,Y1,1);
    Line_AX(X1,X2,Y2,1);
    Line_AY(Y1,Y2,X1,1);
    Line_AY(Y1,Y2,X2,1)
  End;

```

{ ----- }

```

Procedure DrawLine(X1,Y1,X2,Y2: Integer);
  Var DeltaX,DeltaY,XStep,YStep,Direction : Integer;
  Begin
    DeltaX:=Abs(X2-X1);
    DeltaY:=Abs(Y2-Y1);
    IF X1>X2 Then XStep:=-1 Else XStep:=1;
    IF Y1>Y2 Then YStep:=-1 Else YStep:=1;
    IF DeltaX=0 Then Direction:=-1
    Else IF DeltaY=0 Then Direction:=1
    Else Direction:=0;

```

```

While (Not((X1=X2) AND (Y1=Y2)))
Do Begin
  DrawPoint(X1,Y1,255);
  IF Direction<0
    Then Begin
      Y1:=Y1+YStep;
      Direction:=Direction+DeltaX
    End
  Else Begin
      X1:=X1+XStep;
      Direction:=Direction-DeltaY
    End
  End
End;
}

```

```

Var
  n:byte;
  km,ku:array[0..705] of integer;
  a:array[0..705] of byte;

Procedure System_IdentII;
var i,j,k:integer;
    temp1,temp2:real;
    tv:array[1..10] of real;
begin
  if first=TRUE then
    begin
      first:=FALSE;
      for i:=1 to nv do
        begin
          for j:=1 to nv do
            PO[i,j]:=0;
            PO[i,i]:=1e5;
          end;
        end;
      H[1]:=u[9];
      H[2]:=u[8];
      H[3]:=y[9];
      H[4]:=y[8];
      temp1:=0.99;
      for i:=1 to nv do
        for j:=1 to nv do
          temp1:=temp1+H[j]*PO[j,i]*H[i];

      for i:=1 to nv do
        begin
          tv[i]:=0;
          for j:=1 to nv do
            tv[i]:=tv[i]+H[j]*PO[j,i];
          end;
        end;
      for i:=1 to nv do
        for j:=1 to nv do
          PO[i,j]:=(PO[i,j]-tv[i]*tv[j]/temp1)/0.99;
        end;
      end;

```

```

temp2:=0;
for i:=1 to nv do temp2:=temp2+H[i]*coef[i];
temp2:=y[10]-temp2;ech:=temp2;

for i:=1 to nv do
  for j:=1 to nv do
    coef[i]:=coef[i]+P0[i,j]*H[j]*temp2;
end; { System_IdenII } .

```

```

Procedure Controller1;
begin

```

```

  u[6]:=u[7];
  u[7]:=u[8];
  u[8]:=u[9];
  u[9]:=u[10];
  u[10]:=(sp-y[10])*1-0.1*u[9];
  port[571]:=trunc(u[10]*0.6)+128;
end;

```

```

Procedure Controller2;
begin

```

```

  if (coef[1]<>0) and (i>100) then
    begin
      b:=-coef[2]/coef[1];
      r1:=b*(b*b+p1*b+p2)/(b*b-coef[3]*b-coef[4])-b;
      s0:=(p1+coef[3]-r1)/coef[1];
      s1:=(-coef[4]*r1)/coef[1]/b;
      t0:=(1+p1+p2)/coef[1]/(1-b);
    end;
  u[8]:=u[9];
  u[9]:=u[10];
  u[10]:=t0*sp-s0*y[10]-s1*y[9]-r1*u[9];
end;

```

```

Procedure Controller3;
begin

```

```

  if (coef[1]<>0) and (i>10) then
    begin
      k:=coef[1];
      b:=-coef[2]/coef[1];
      a0:=-coef[3];a1:=-coef[4];

      r1:=b*b*(b*b+p1*b+p2)/(b*b+b*a0+a1)/(b-1) - b;
      s2:=-a1*r1/k/b;
      s1:=(s2*k-r1*a0+a1*(r1-1))/k/b;
      s0:=(p1-a0-(r1-1))/k;
      t0:=(1+p1+p2)/(k*(1-b));

      end else delay(1);

```

```

  u[8]:=u[9];
  u[9]:=u[10];
  u[10]:=t0*sp-s0*y[10]-s1*y[9]-s2*y[8]-(r1-1)*u[9]+r1*u[8];
end;

```

```

Procedure Process1;
begin

```

```

Port[575]:=0;
y[6]:=y[7];
y[7]:=y[8];
y[8]:=y[9];
y[9]:=y[10];
y[10]:= (port[575]-128)/0.4;
end;

```

```

Procedure Process2;

```

```

begin
y[6]:=y[7];
y[7]:=y[8];
y[8]:=y[9];
y[9]:=y[10];
{ y[10]:= 0.00991*u[9]+0.00938*u[8]+1.8394*y[9]-0.8490*y[8];}
y[10]:= gain*(0.0102*u[9]+0.0099*u[8])+1.9114*y[9]-0.9214*y[8];
end;

```

```

Begin

```

```

{ initialize }
port[571]:=128;readln;
first:=TRUE;nv:=4;sign:=-1;
sp:=-50;j:=0;gain:=1;m:=1.4;
for i:=1 to 10 do
begin
u[i]:=0;
y[i]:=0;
e[i]:=0;
coef[i]:=0;
end;
p1:=-1.832;p2:=0.839;
t0:=0.01;r1:=0;s0:=0.01;s1:=0;s2:=0;
HgcMode(1);
Clear_Image;
DrawSquare(0,0,719,257);
Line_Ax(9,714,128,1);
Line_Ay(1,257,9,1);
for i:=1 to 705 do k[i]:=100;

repeat
for i:=0 to 599 do
begin
{ if i mod 200 =0 then begin sp:=-sp;end;}
{ if i mod 300 =0 then begin sp:=-sp;end;}
{ if i = 300 then begin gain:=gain*m;end;}
{ if i = 150 then begin gain:=gain*m;end;}
if i = 450 then begin gain:=gain/m;end;
}

controller3;
if abs(u[10])>70000. then goto eee;

```

```

if u[10]>320 then u[10]:=320;
if u[10]<-320 then u[10]:=-320;
kco:=128+trunc(u[10]*0.4);
port[571]:=kco;
process1;
system_idenii;

```

```

if coef[1]>128/500 then kco:=255;
if coef[1]<-128/500 then kco:=0;

```

```

if abs(coef[1])<128/500 then kco:=128-trunc(coef[1]*500);

```

```

DrawPoint(i+10,kco,1);
if coef[1]>128/500 then kco:=255;
if coef[1]<-128/500 then kco:=0;
if abs(coef[1])<128/500 then kco:=128-trunc(coef[2]*500);
DrawPoint(i+10,kco,1);
if coef[1]>2.56 then kco:=255;
if coef[1]<-2.56 then kco:=0;
if abs(coef[1])<2.56 then kco:=128-trunc(coef[3]*50);
DrawPoint(i+10,kco,1);
if coef[1]>2.56 then kco:=255;
if coef[1]<-2.56 then kco:=0;
if abs(coef[1])<2.56 then kco:=128-trunc(coef[4]*50);
DrawPoint(i+10,kco,1);

```

```

if u[10]>320 then ku[i]:=255;
if u[10]<-320 then ku[i]:=0;
if abs(u[10])<320 then ku[i]:=128-trunc(u[10]*0.4);
DrawPoint(i+10,ku[i],1);
if y[10]>320 then km[i]:=255;
if y[10]<-320 then km[i]:=0;
if abs(y[10])<320 then km[i]:=128-trunc(y[10]*0.4);
DrawPoint(i+10,km[i],1);

```

```

{ delay(150);}
{ writeln(coef[1]:10,' ',coef[2]:10,' ',coef[3]:10,' ',coef[4]:10,'err',ech:8);
writeln(' ',t:10,' ',r1:10,' ',s0:10,' ',s1:10,' ',s2:10);
writeln(i,' ',sp:10,' ',y[10]:10,' ',u[10]:10);
} end;
until KeyPressed;
eee:
HgcMode(0);
ClrScr;

```

End.

A)



กิตติกรรมประกาศ

ผู้เขียนขอขอบพระคุณ อาจารย์วันชัย รุ่งรุจา อาจารย์ที่ปรึกษาปริญญาโท
พนธ์ ที่ได้ช่วยเหลือให้คำแนะนำ ข้อคิดเห็นต่าง ๆ ตลอดจนกำลังใจในการทำ
งานอย่างมาก นอกจากนี้ขอขอบคุณ นายธนากรณ์ มาไพศาลสิน ที่ได้ช่วยเหลือ
ในการทำต้นฉบับ และนายชัชชัย น้อยกร ที่ได้ช่วยเหลือในด้านโปรแกรมกราฟิก

หากปริญญาโทพนธ์นี้พอจะมีประโยชน์อยู่บ้าง ขอมอบความดีนี้ให้ผู้มีพระคุณ
ทั้งหลาย



หนังสืออ้างอิง

1. P.E.Wellstead , P.Prager, and P.Zanker, "Pole assignment self-tuning regulator", PROC.IEE , Vol 126 ,No 8,1979, pp 781-787
2. R.Hasting-James and M.W.Sage, "Recursive generalised-least-squares procedure of online identification of process parameters", PROC.IEE,Vol 116, No 12,1969, pp 2057-2062
3. T.C.Hsia, "On Least Squares Algorithms for System Parameter Identification", IEEE.Trans.on Automatic Control, Vol 2,1976, pp 104-107
4. D.Graupe,"Identification of Systems",Robert E. Krieger Publishing,276 p,1976
5. K.J.Astrom and B.Wittenmark,"Computer controlled system theory and design",Prentice-Hall, pp 93-398, 1984
6. G.Stepanopoulos, "Chemical process control", Prentice-Hall, pp 45-279, 1984
7. F.G.Shinskey, "Process Control System" ,McGraw-Hill, pp 156-164, 1979
8. V.W.Everleigh, "Adaptive Control and Optimization Techniques" ,McGraw-Hill ,434 p, 1967
9. C.H.Houpis and G.B.Lamont , "Digital Control Systems" ,McGraw-Hill ,667p ,1985
10. Yokogawa Hokushin Electric , "YEW series 80 Electronic control system",Japan, 1985
11. บุญเสริม แจ้งอรุณ, "การจำลองตัวควบคุมอัตโนมัติแบบจูนปรับตัวเองโดยใช้ไมโครคอมพิวเตอร์" ,การประชุมทางวิชาการวิศวกรรมไฟฟ้าครั้งที่ 10 เล่ม 2, หน้า 109-119 , 2530